

التقدير الكمي لتعريمة التربة بحوض وادي سنور،  
دراسة تطبيقية باستخدام نظم المعلومات الجغرافية والاستشعار  
عن بعد

إعداد

د/ أحمد محمد أبو راهي  
أستاذ الجغرافية الطبيعية المساعد  
جامعة الفيوم - كلية الآداب

عدد يونيو ٢٠١٩

# التقدير الكمي لتعريمة التربة بحوض وادي سنور، دراسة تطبيقية باستخدام نظم المعلومات الجغرافية والاستشعار عن بعد

إعداد

د/ أحمد محمد أبو راهي  
أستاذ الجغرافية الطبيعية المساعد  
جامعة الفيوم - كلية الآداب

تعد العوامل والعمليات الجيومورفولوجية المحرك الرئيسي لتعريمة التربة؛ حيث تعمل على تجريد السطح من الرواسب الناتجة عن عمليات التجوية المختلفة، ويعتمد نشاط هذه العوامل والعمليات على كلام (التربة والمناخ والتضاريس والغطاء الأرضي) والفاعلات فيما بينها، حيث تمثل تعريمة التربة المحصلة النهائية لنشاط العوامل والعمليات الجيومورفولوجية المختلفة.

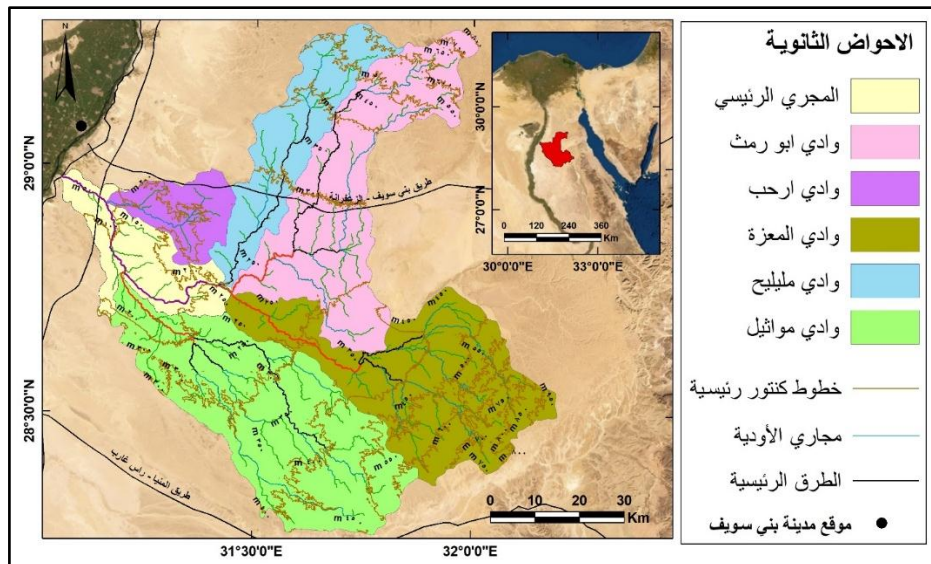
تمثل تعريمة التربة Soil Erosion مشكلة واضحة وخاصة في المناطق شبه الصحراوية والصحراوية والمناطق الجبلية؛ حيث تحتاج التربة لتعويض فقد ٢٥ سم من التربة السطحية تحت غطاء نباتي متوازن، لمدة زمنية تتراوح بين (٣٠٠:٣٠٠ عام) (مكتب اليونسكو للتربية في الدول العربية، ١٩٩٠).

تعد دراسة معدلات التعريمة لأحواض التصريف مؤشرًا هامًا يجب الأخذ به في ظل اتجاه الدولة لزيادة المساحات المستصلحة، كما أن لدراسة معدلات التعريمة للأدوية أهمية واضحة؛ حيث تعد إحدى المحاور الهامة للنمو العماني والتوسيع الزراعي وبخاصة في الصحراء الشرقية، وتزداد أهمية دراسة التعريمة لأحواض التصريف لارتباطها بالغطاء النباتي الطبيعي، كما أن دراسة معدلات التعريمة لأحواض التصريف وفق النماذج الرياضية يمكن من تقدير درجات المخاطر التي قد تتعرض لها تلك الأحواض.

تعد المياه والرياح من العناصر الرئيسية المسئولة لتأكل التربة وبخاصة في الصحراء الشرقية، حيث تعمل السيلول على تجريد السطح من الرواسب والمفتتات وترك الاسطح عارية، وبخاصة في واجهات المنحدرات، في حين تعمل الرياح على اكتساح ونحت الطبقة السطحية من التربة، ويوجد العديد من النماذج الرياضية لتقدير معدلات تعرية التربة وخطورتها منها؛ المعادلة العالمية المعدهل لفقد التربة بفعل التعرية المائية Revised Wind Erosion Equation Universal Soil Loss Equation (RUSLE) (WEQ)، حيث تساعد هذه المعادلات في تحديد معدلات التعرية ودرجة خطورتها، وتحديد المناطق المحتمل حدوث تعرية التربة بها باستخدام نظم المعلومات الجغرافية (GIS) والاستشعار عن بعد (RS)، حيث تعد أدوات فعالة لاستخراج النتائج الدقيقة، ودراسة وتحليل الخرائط والمرئيات الفضائية ونماذج الارتفاع الرقمي، إلى جانب تحليل نتائج الدراسات الميدانية، يعطي مزيداً من الدقة لهذه التقديرات والتوقعات.

#### منطقة الدراسة:

يمتد وادي سنور فوق الصخور الجيرية لهضبة المعازة بالصحراء الشرقية، إلى الجنوب من مدينةبني سويف بحوالي ٠٤كم، ويصب تجاه نهر النيل عند قرية سنور، ويقع فلكياً بين دائرتى عرض ٣٨°١٥' و٣٨°٢٨'، وتحتوى على خط طول ٣٢°١١' و٣١°٥٤' و٥٩' شرقاً، ويغطي الحوض حوالي ٢٥٠١٧' شمala وبين خط طول ٦٢٠٢.٢١' كم، ويحده من الشمال نطاق خط تقسيم المياه بين روافده وبين روافد أودية (غراب، بياض، قطار، رملية، ليшибاب، متين البحري، الرشاش، الإطفيحي) ويحده من الجنوب روافد أودية (الفقيرة، الشیخ) ومن الجنوب الشرقي روافد وادي الطرفة ومن الشمال الشرقي روافد وادي عربة خريطية رقم (١١) وتتسق منطقة الدراسة بوجود العديد من مناطق التعدين والتحجير كمحاجر الالباستر المصري والطفلة والحجر الجيري، إلى جانب استخدام بطون الأودية كطرق لمحطة توليد الطاقة الكهربائية (محطة غياصه) إلى جانب المحور العرضي للطريق الذي يربط مناطق المحاجر بطريق الكريمات بنى سويف.



خرطة رقم (١) الموقع العام لمنطقة الدراسة

**مشكلة الدراسة:**

- عدم وجود رصد فعلي لمعدلات تعرية التربة بمنطقة الدراسة بصفة خاصة، والمناطق العمرانية الموجودة على الجانب الشرقي لنهر النيل بصفة عامة.
- الجريان السيلي بأحواض التصريف بالصحراء الشرقية، يؤدي إلى فقر الغطاء النباتي وزيادة تقويت السطح وتفككه التربة وبالتالي زيادة حمولة المياه أثناء الجريان السيلي، يعرض مناطق الاستقرار البشري التي تقع في مسارات السيول للأخطار.
- عدم وجود خرائط اخطار طبيعية (تعرية التربة، السيول، حركة المواد) يشكل عائق في تخطيط وتنفيذ مشاريع التنمية كالطرق والتوسع العمراني وصيانة التربة.
- تزايد خطر تعرية التربة على الطرق التي تمر غرب المنطقة (طريق الكريمات) وكذلك طريق الشيخ فضل (المنيا-راس غارب) في الجنوب مما يعمل على زيادة الآثار التخريبية والتدميرية لها.

**اهداف الدراسة:**

١. تقدير حجم تعرية التربة ومعدلاتها داخل حوض وادي سنور باستخدام النماذج الرياضية، وتم الاعتماد على نموذجين لتقدير معدلات التعرية؛ الأول يقيس معدلات التعرية بفعل المياه الجارية والثاني يقيس معدلات تعرية التربة بفعل الرياح.

٢. مقارنة نتائج النماذج الرياضية لتحديد العامل المسؤول عن تعرية التربة ومدى تطابق النتائج بهدف إنشاء قاعدة بيانات لحوض وادي سنور؛ حيث يمثل الامتداد الجنوبي للمناطق الصناعية لمدينة بنى سويف الجديدة.

٣. بناء قواعد بيانات لاستخدام الأرض والغطاء النباتي وأنواع التربة، وتحديد دور العامل البشري في تعرية التربة.

٤. تحديد درجات الخطورة، وانسب الطرق للحد من الآثار السلبية للتعرية التربة بمنطقة الدراسة.

#### منهج البحث وأساليبه:

لتحقيق أهداف الدراسة تم صياغة مشكلات البحث في عدة تساؤلات من ها:

- حجم ومعدلات تعرية التربة الناتج عن التعرية المائية والريحية على مستوى الأحواض الثانوية لواي سنور؟

- أي الأحواض الثانوية أكثر خطورة، وما هي المواقع الأكثر تأثراً بالتعرية؟

- أي العوامل والعمليات الجيومورفولوجية له السيادة في عملية تعرية التربة، وما هي طرق الحماية المثلث؟

لتحقيق أهداف الدراسة والإجابة على تساؤلاتها، اعتمدت الدراسة على المنهج التحليلي الوصفي، وباستخدام نظم المعلومات الجغرافية والاستشعار عن بعد في معالجة وتحليل البيانات من المرئيات الفضائية والدراسة الميدانية، بغرض رصد المتغيرات المؤثرة في تعرية التربة، كذلك استخدم المنهج التطبيقي في رصد وتفسير عمليات التعرية المختلفة وتقدير الوضع الحالي لمعدلات التعرية وانسب الطرق الممكنة للحد من اخطار تعرية التربة بوادي سنور.

كما تم الاعتماد على العديد من المصادر والأساليب في هذه الدراسة التي يمكن إيجازها فيما يلي:

- جمع البيانات من الدراسات الجيولوجية والهيدرولوجيا السابقة التي تناولت المنطقة، إلى جانب عدد من البيانات المناخية التي تخدم الموضوع.
- الخرائط الطبوغرافية، والجيولوجية، والمرئيات الفضائية، وملف الارتفاع الرقمي DEM الذي يغطي منطقة الدراسة ما يلي:

- خرائط طبوغرافية ذات مقياس رسم ١:٥٠٠٠٠ إصدار المساحة المدنية (المشروع الفنلندي) أعوام ١٩٨٩، ١٩٩١، ١٩٩٥ وهي: لوحات خرائط (وادي مواثيل، وادي الرشراش، وادي ام قطيفة، وادي سنور، وادي أرحب،بني سويف) الي جانب خريطة جبل حمرة شبيون اصدار المساحة العسكرية طبعة ثانية ١٩٨١، من خلالها تم التعرف على المسميات الجغرافية وتضاريس المنطقة وتحديد المناسب، الطرق والمدقات بمنطقة الدراسة.
- خريطة بني سويف الجيولوجية ذات مقياس رسم ١:٥٠٠٠٠ إصدار كونكو كورال ١٩٨٧، وتم الاعتماد عليها في تحديد التكوينات الجيولوجية وقياس مساحاتها، وتحديد اعداد الصدوع وقياس اطوالها واتجاهاتها.
- صور الأقمار الصناعية (TM+) Land sat ٧ لعام ٢٠١٩ و٨ لعام ٢٠٠٩، استخدمت لرصد التغيرات في الغطاءات الأرضية بعد مقارنتها بالخرائط الطبوغرافية. صورة مرئية IKONOS دقة ١ متر، تصوير عام ٢٠١٠ وتم الاستعانة بها في دراسة استخدام الأراضي داخل منطقة الدراسة.
- استخدم عدد من برامج الاستشعار عن بعد ونظم المعلومات الجغرافية (Arc ٢٠١٤، Erdas Imagine ٢٠١٤، Global Mapper ١٨، GIS ١٠..٣) في تحليل بيانات المرئيات الفضائية ورسم الخرائط ، وعمل الطبقات المختلفة، وتوحيد نظام الاسقاط والمرجع الجيوديسي WGS٨٤، مما ساعد على مقارنة وتحليل البيانات المتعددة لمنطقة الدراسة، كذلك استخدام نموذج الارتفاع الرقمي DEM دقة ٣٠ متر في انشاء الخريطة الكنتورية، والانحدار، ورسم القطاعات التضاريسية للمنطقة والجسم الرقمي، استخدم جهاز GPS في تحديد وتوقيع مناطق التجمعات النباتية (الغطاء النباتي) والعمارية واستخدامات الأرض المتباينة، ومطابقة النتائج التي تم جمعها ميدانيا بجهاز GPS بالبيانات المستخلصة من المرئيات الفضائية وعمل المراجعات الحقلية، حيث ساهمت هذه المراجعة في تصحيح وتأكيد التفسير البصري للمرئيات الفضائية، الي جانب اجراء التحليل الاحصائي للبيانات باستخدام برنامج SPSS.
- اعتمدت هذه الدراسة على الدراسات الميدانية، حيث تم عمل دراسة استكشافية لمنطقة في أواخر شهر ديسمبر ٢٠١٥ ضمن برنامج الدراسات الميدانية بقسم الجغرافيا بآداب الفيوم، ومن خلالها تم استكشاف المنطقة وتحديد الطرق والمدقات وبخاصة في المجرى الرئيسي.

القيام بدراسة ميدانية ثانية في شهر مايو ٢٠١٧ لتحديث الخرائط، وتسجيل الملاحظات الميدانية الخاصة باستخدامات الأراضي وكثافة الغطاء النباتي، ورصد معالم انجراف التربة عقب الجريان السيلاني وتم تحديد الواقع باستخدام جهاز GPS، والتقط الصور الفوتوغرافية لأثار السيل وتقدير حجم وسمك الرواسب في الأماكن المنخفضة التي تبدو على هيئة تشققات طينية. القيام بدراسة ميدانية ثالثة في يناير ٢٠١٩ لرصد معالم التعرية الريحية في الواجهات الصخرية ورصد الفرشات الرملية والنباك، إلى جانب تحديث البيانات الخاصة باستخدام الأرض، وفيما يلي شرح للنماذج المستخدمة.

### **أولاً: شرح وتحليل النماذج المستخدمة:**

#### **١- المعادلة العالمية المعدلة لفقد التربة (RUSLE)**

$$A = R * K * LS * C * P$$

$A$  = الفاقد السنوي للتربة (طن/ L.S) = طول ودرجة انحدار المنحدر (عامل طبوغرافي)

$C$  = عامل الغطاء النباتي (هكتار)

$R$  = عامل التعرية المطرية

$K$  = عامل قابلية التربة للتعرية

##### **• عامل التعرية المطرية (R)**

يمثل العامل المناخي عامل التعرية المطرية المؤثر في عملية تعرية وانجراف التربة ويوجد أكثر من معادلة لحساب عامل التعرية المطرية كما يلي؛

مؤشر روز رووز index (Fabbri, K., 1991)  $R = (P^{0.5} \cdot 1.73)$

معادلة فورنييه (Fournier, F., 1960)  $R = PI^2 / P$  Fournier

حيث أن:  $R$  = عامل التعرية المطرية (جول/ هكتار)  $P$  = معدل التساقط السنوي ملم  $PI$  = معدل التساقط الشهري ملم

وتم الاعتماد على مؤشر روز Roose index في حساب التعرية المطرية؛ حيث يناسب هذا المؤشر المناطق الجافة وشبه الجافة كما في وادي سنور والذي يتسم بقلة التساقط المائي وحدوث الأمطار الفجائية على فترات متباude على شكل سيول. وتم الاعتماد على البيانات المناخية من محطات الأرصاد المحيطة بحوض وادي سنور (بني سويف، المنيا، بئر عريضة، سانت انتونيو).

## • عامل قابلية التربة للتعرية (K)

تمثل الخصائص الحجمية للترابة العنصر الأساسي لحساب قابلية التربة للتعرية؛ حيث يعتمد على التحليل الميكانيكي لمكونات التربة والنسب المئوية لأحجام (الطين، السلت، الرمل الناعم جداً) بالإضافة لنفاذية وبناء التربة وتركيز المادة العضوية في التربة، ويتم تقدير وفق العلاقة الرياضية التي وضعها (Wischmeir and

Smith, ١٩٧٨) كالتالي:

$$K = 2.1 * 10^{-6} * Mx^{1.14} * (12 - OM + 0.0325 * (S - 2) + 0.025 * (4 - P))$$

$K$  = قابلية التربة للتعرية     $OM$  = المادة العضوية     $S$  = معامل بنائية التربة (٤: ١)

$Mx$  = (مجموع النسبة المئوية للغرين والرمل الناعم جداً) \* (١٠٠ - النسبة المئوية للطين)     $P$  = معامل نفاذية التربة (٦: ١)

وتتراوح قيمة (K) بين (صفر : ١) حيث ترتفع احتمالية تعرية وتأكل التربة كلما اقترب الناتج من الواحد والعكس، وتوجد علاقة عكسيّة بين قوام ونفاذية ومسامية التربة؛ مما انعكس على درجة مقاومة التربة للتعرية فالتربة الطينية تتسم بارتفاع مقاومة التعرية بسبب ارتفاع المسامية وبالتالي زيادة رطوبة التربة وزيادة تماسكها، بعكس التربة الرملية تتحفظ بها الرطوبة بسبب قلة المسامية وارتفاع النفاذية وبالتالي تصبح مفككة غير متمسكة مما يزيد احتمالية انجرافها مع الجريان السطحي داخل حوض الوادي.

وتعمل المادة العضوية على زيادة تماسك التربة، وتعزز المادة العضوية ضئيلة جداً إذا كانت أقل من ١٪ في حين تكون مرتفعة جداً إذا تخطت ٦٪، ويتم حساب قيم K من الجدول رقم (١)، حيث تتباين قيمته حسب قوام التربة والمحتوى العضوي؛ حيث تمثل المادة العضوية العنصر اللازم لحببيات التربة وتعمل على تجمعها وتماسكها مما يقلل من خطر انجرافها بفعل الجريان السطحي للمياه.

جدول رقم (١) قيم معامل قابلية التربة للتعرية K حسب قوام ومحبّي التربة من المادة العضوية

قوام التربة																	المادة العضوية	متوسط قيمة K
رملي طامي ناعم ناعم جداً جداً	رملي طبني طمي	غرين طبني طمي	غرين طبني طمي	غرين طبني طمي	غرين طبني طمي	رملي طبني طمي												
٠.٣٥	٠.٤٣	٠.٣٢	٠.٢٦	٠.٣٨	٠.١٣	٠.٢٠	٠.٠٢	٠.٣٩	٠.٠٤	٠.١١	٠.٣٠	٠.١٧	٠.١٨	٠.٠٨	٠.٠٧	٠.٣٠	٠.٢٢	
٠.٤١	٠.٤٦	٠.٣٥	٠.٢٧	٠.٤١	٠.١٤	—	٠.٠٣	٠.٤٤	٠.٠٥	٠.١٥	٠.٣٤	٠.١٩	٠.٢٢	٠.٠٩	—	٠.٣٣	٠.٢٤	
٠.٣٣	٠.٣٧	٠.٣٠	٠.٢٦	٠.٣٧	٠.١٢	٠.٢٠	٠.٠١	٠.٢٥	٠.٠٤	٠.٠٩	٠.٢٦	٠.١٥	٠.١٧	٠.٠٦	٠.٠٧	٠.٢٨	٠.٢١	

Ferreira, et.al, ١٩٩٥

بناء التربة - قطرات الحبيبات ملم	نفاذية التربة سم / يوم	١٠ >	١٠ - ٢	٢ - ١	١	١	٣	٤	٤	٣	٢	١	١	٣	٤	٣	٤
٣٠٠ >	٣٠٠ - ١٠٠	١٠٠ - ٤٠	٤٠ - ١٠	١٠ - ١	١	١	٣	٢	١	٤	٣	٢	١	٣	٤	٣	٤

## • عامل طول ودرجة انحدار المنحدر (L. S)

### Factor of Slope Length and Steepness

يعكس هذا العامل تأثير التضاريس الواضح على عملية تأكل وانجراف التربة، حيث يؤدي زيادة طول المنحدر وانحداره لارتفاع تأكل التربة أعلى المنحدر، كما أن معدل فقد التربة يكون أكثر حساسية للتغيرات في حال الانحدار عنها في طول المنحدر، لذلك فإن التضاريس تمثل أحد العوامل الرئيسية في تعريمة التربة، خاصة عندما يتجاوز انحدار السطح الزاوية الحرجة، بالإضافة لتأثيرها على معدلات الجريان السطحي داخل حوض التصريف.

يتم حساب هذا العامل بالاعتماد على معادلة فيشماير وسميث (Wischmeier and Smith ١٩٧٨) كما وردت عن (Ganasri, B., and Ramesh, H., ٢٠١٦) كما يلي:

$$L.S = \left( \frac{(F * Cell\ size)}{22.13} \right)^Y * ((0.065 + 0.045 * Slope) + (0.0065 * Slope^2))$$

تراكم التدفق ويتم حسابه من DEM باستخدام Spatial analyst tools Flow accumulation grid = F

ثابت يتراوح بين (٠٠٢ : ٠٠٥) Slope = النسبة المئوية للانحدار Cell size = حجم الخلية في DEM المستخدم

## • عامل الغطاء النباتي (C)

يمثل الغطاء النباتي عنصر الحماية الطبيعية لسطح التربة، وتم الاعتماد على المؤشر النباتي (NDVI) بهدف قياس فرق الانعكاس بين القناتين تحت الحمراء والحراء متساوياً على حاصل جمع الانعكاس في نفس القناتين (Sellers, et. al, ١٩٨٩)

$$NDVI = \frac{NIR - RED}{NIR + RED}$$

تتراوح قيمة NDVI بين (-١ : ١) حيث تشير القيم المرتفعة للنباتات الخضراء والقيم المنخفضة لمكونات السطح المختلفة، وتقترب قيمة NDVI من الصفر في التربة العارية، في حين تمثل القيم السالبة المسطحات المائية.

يتراوح عامل التغطية (C) بين صفر (للتربة المغطاة المحمية)، إلى واحد (للتربة العارية غير المحمية)، تم استخدام المعادلة التالية لحساب عامل الغطاء النباتي C، وتم حساب قيمة C بدلالة المؤشر النباتي NDVI باستخدام Raster calculator من برنامج Arc GIS ضمن برنامج Raster calculator (Karaburun, A., ٢٠١٠)

$$C = 1.02 - 1.21 \times NDVI$$

- عامل إجراءات حماية التربة من التعرية (P)

يقصد به طرق حماية التربة من الانجراف سواء بزيادة الغطاء النباتي او استخدام الطرق الحديثة في الزراعة والحرث وعدم تقليل التربة على فترات زمنية قصيرة واستخدام طرق الحرث الكنتورية للتربة وترك بقايا جذور النباتات، ويقوم هذا العامل بتصحيح تقدير USLE لممارسات الإدارة والحرث التي تحمي التربة من التعرية.

يتم اشتقاق خريطة عامل P من خرائط الاستخدامات الأرضية وخريطة انحدار السطح، تتراوح قيم عامل P من صفر إلى 1؛ حيث تشير القيمة العالية للمناطق التي لا توجد فيها ممارسات لحفظها، بينما القيم الدنيا لوجود ممارسات حماية كما في المساحة المبنية والأراضي المزروعة، وفي هذه الدراسة تم استبعاد عامل حماية التربة حيث تمثل منطقة الدراسة وادي جاف تقتصر استخدامات الأرض على نطاق ضيق بمصب الوادي.

## ٢- معادلة التعرية الريحية للتربة (WEQ)

تمثل أكثر الطرق شيوعا في تقدير مخاطر التعرية الريحية؛ بسبب غياب تأثير الغطاء النباتي الطبيعي في المناطق الصحراوية (Woodruff and Siddoway, ١٩٦٥)، ورياضياً تمثل هذه المعادلة نموذج مبسط للمعادلة العالمية لفقد التربة بواسطة الرياح؛ حيث تم حساب مخاطر التعرية الريحية للتربة بمنطقة حوض وادي سنور باستخدام معادلة منظمة الأغذية والزراعة وفق نموذج (WEQ)؛ والتي اعتمدت على عامل المناخ وقابلية التربة للتعرية (Behbahani, A., M., ٢٠١٥) :

$$WER = C * I$$

$WER$  = الخطير المحتمل للتعرية الريحية (طن/ هكتار / في السنة).

$C$  = العامل المناخي للتعرية الريحية أو قدرة الرياح على التعرية Eolisivity

/ قابلية التربة للتعرية الريحية Soil Erodibility (جرام / ٢م) .

- عامل المناخ (C)

يعتمد عامل المناخ في حسابه على سرعة الرياح والتسلط الفعال، توصل الباحثون لحساب القابلية المناخية للتعرية الريحية أو عامل النحت الريحي كما في المعادلات التالية (Chepil et al, ١٩٦٢) :

$$C = 386 (V^3 / PE^2)$$

$C$  = القابلية المناخية لتعريمة الرياح (عامل المناخي)  $PE$  = التساقط الفعال لثورنثويت

$V$  = معدل سرعة الرياح (م / ثانية) لتعريمة التربة على ارتفاع (٥،٥ أو ١،٥) متر من سطح التربة

ولقد عدل ثورنثويت مؤشر المناخ ليشمل تقييم فعالية الأمطار، وتم وضع المعادلة لكي تعبر عن نسبة  $P/E$

بدلالة درجة الحرارة والأمطار، كما يلي (FAO, ١٩٧٩):

$$PE = 0.316 \left( \frac{P}{1.8T + 22} \right)^{10/9}$$

ثم تجمع القيم الشهرية للحصول على قيمة سنوية، تضرب في عدد ١٠ لإعطاء دليل  $PE$  (١).

$P$  = المتوسط الشهري للأمطار (بالملم)  $PE$  = التساقط الفعال لثورنثويت  $T$  = درجة الحرارة مئوية

#### • مؤشر قابلية التربة لتعريمة الريحية (I)

يشير لتدور بنية التربة (التركيب الميكانيكي) وقلة الطين في الطبقة السطحية وتدني نسبة المادة العضوية في التربة، ويمكن تقدير قابلية التربة لتعريمة الريحية من خلال العلاقة التي اقترحها (Hayes, ١٩٦٥)، حيث تعتمد على التحليل الميكانيكي للتربة وحساب النسبة المئوية لحببيات التربة ( $> ٠.٨٤$  ملم) (٣).

كما يمكن تقدير قيمة (I) لتعريمة الريحية بالاعتماد على معادلة (Shiyatyi, ١٩٦٥)

$$I = 10^{4.03691 - 0.0384S - 0.00406N}$$

$I$  = قابلية التربة لتعريمة الريحية (جرام / م) (٢)  $S$  = النسبة المئوية لحببيات التربة الجافة ذات القطر الأكبر من ١ ملم

$N$  = عدد سيقان النباتات القائمة / متر مربع (ذات الطول أكثر من ٢٠ سم)

و يتم اهمال قيمتها في المناطق الصحراوية لندرة وجود غطاء نباتي وتخزل المعادلة إلى:

$$I = 10^{4.03691 - 0.0384S}$$

(١) العامل المناخي لتعريمة الريحية (C): أقل من ١٧ تعريمة قليلة جدا، ١٨: ٣٥ تعريمة قليلة، ٣٦: ٧١ تعريمة متوسطة، ٧٢: ١٥٠ تعريمة عالية، أكثر من ١٥٠ تعريمة عالية جدا). Chepil, et al, ١٩٦٢, p. ١٦٤ (٣)

نسبة الرمل الخشن %	قابلية التربة لتعريمة طن / هكتار / سنة (I)
٧٠ ٦٠ ٥٠ ٤٠ ٣٠ ٢٠ ١٠ ٣ ٠ %	١٢ ٥٧ ٩١ ١٣٨ ١٨٨ ٢٤٢ ٣٣١ ٥٤٤ ٧٧٣

## ثانياً: الملامح الطبيعية لمنطقة الدراسة

### أ - الخصائص الجيولوجية لمنطقة الدراسة:

تهدف دراسة الخصائص الجيولوجية إلى تحديد التكوينات الجيولوجية وما تحويها من صخور متباعدة إلى جانب البنية الجيولوجية خريطة رقم (٢)، مما يسهم في فهم دور ونشاط عوامل التعرية المختلفة بمنطقة الدراسة ومدى استجابة الصخور لعوامل التعرية وعمليات التجوية.

تمثل تكوينات الإيوسين أقدم التكوينات المكشوفة وتتسم بكثرة الشقوق والفوائل وتغطي صخور الإيوسين الأوسط معظم منطقة الدراسة (جدول رقم ١) نحو ٨٦.٧٧٪ من منطقة الدراسة، حيث بلغت مساحتها حوالي ٥٣٨٢ كم<sup>٢</sup> من إجمالي مساحة التكوينات الجيولوجية المكشوفة بمنطقة الدراسة ، يليه رواسب الزمن الرابع؛ حيث شملت رواسب البلايوستوسين والمهولوسين، وهي تغطي جزءاً كبيراً من مساحة منطقة الدراسة، بلغت نحو ٤٣٠.٤٦ كم<sup>٢</sup> بنسبة ١١.٩٩٪ من إجمالي مساحة المنطقة، حيث تغطي السهل الفيضي، وبطون وجوانب الأودية ومصباتها، إلى جانب بعض أقدام المنحدرات، ويتشكل منها العديد من الظاهرات الجيومورفولوجية، كالمساطب، والمرابح الفيضية، ومخارات الهشيم، والجزر الفيضية، وغيرها من الظاهرات، في حين جاءت تكوينات البلايوسين في المرتبة الأخيرة؛ حيث غطت حوالي ١٣ كم<sup>٢</sup> بما يعادل ٠.٢١٪ من المساحة الكلية لمنطقة الدراسة، ويرقد بعدم توافق مع صخور الإيوسين؛ بسبب غياب التكوينات الجيولوجية بين عصري البلايوسين والإيوسين في منطقة الدراسة، فيما يلي دراسة التكوينات بالمنطقة كالتالي:

**جدول (١) مساحة التكوينات الجيولوجية المكشوفة بمنطقة الدراسة**

النوع	المجموع	تكوين مغاغة	تكوين قرارنة	تكوين بني سويف	تكوين بني سويف	تكوين العقطم	تكوين مختنطة	تكوين المعادي	تكوين حصى اوليجوسيني	تكوين رقبة اوليجوسيني	فلونجلوميرات	رواسب الأودية	رواسب غير مصنفة	تكوين الجيولوجي
المساحة كم <sup>2</sup>	٦٢٠.٢١	٤.٩٥	٢٠٥	٢١٧.٢٧	٥١٤١.٥٨	١٦.١٥	٦٣.٧٥	١٣.٠	٤٨.٤٩	٤٩٧.٩٩	١٩٦.٩٨			
%	١٠٠.٠٠	٠.٠٨	٠.٠٣	٣.٥٠	٨٢.٩٠	٠.٢٦	١.٠٣	٠.٢١	٠.٧٨	٨.٠٣	٣.١٨			

اعتماداً على خريطة مصر الجيولوجية لوحدة بنى سويف (كونوكورال)، مقياس ١:٥٠٠٠٠٠، ١٩٨٧.

### ١ - تكوينات الإيوسين:

تشكل الصخور الجيرية المكون الرئيسي لهذه التكوينات، وتتسنم صخور الإيوسين بكثرة الشقوق والفوائل، وتظهر هذه التكوينات بحوض وادي سنور كالتالي:

• **تكوينات الإيوسين الأوسط:**

بلغت مساحتها  $٥٣٦٥.٨٥ \text{ كم}^2$  بنسبة  $٨٦.٥١\%$  من المساحة الاجمالية لمنطقة الدراسة، وتمثل تكوينات مجموعة المقطم صخور الإيوسين الأوسط وشملت التكوينات التالية:

- **تكوين مغاغة:**

يتكون من الحجر الجيري البحري النشأة والمارل مع حفريات عوالق حيوانية (بلانكتون)، وتنظر في أقصى جنوب شرق المنطقة في نطاق تقسيم المياه بين روافد وادي سنور ورافد وادي الطرفه في هضبة الجالة القبلية، تغطي نحو  $٤٤.٩٥ \text{ كم}^2$  منطقة الدراسة حوالي  $٠٠٠٨\%$  من اجمالي المساحة.

- **تكوين كراره:**

يتتألف من الطفل في القاعدة يتدرج الى الصخور الغرينية مع طبقات رفيعة من الحجر الجيري الغني بحفريات قروش الملائكة، ويبلغ سمك التكوين  $١٧٩٠ \text{ متر}$  (Omara, S., et.al, ١٩٧٧, p. ١٧٩)، ويظهر تكوين كراره الى الغرب من تكوين مغاغة على اقدام المنحدرات الغربية لهضبة الجالة القبلية، يشغل حوالي  $٢٠٠ \text{ كم}^2$  بما يمثل  $٣٠٠٠\%$  من المساحة الكلية للمنطقة.

- **تكوين بنى سويف:**

يحتوي على الطفل والمارل والحجر الجيري، ويتسم بكثرة الفواصل الصدوع والتي نشطت عليها عوامل التعرية المائية؛ حيث عملت على تعميق مجاريها، وتنظر في نطاق تقسيم المياه الشمالي في جبل غراب بين روافد وادي سنور وروافد وادي غراب، كذلك تظهر في القطاع الأدنى للوادي في نطاق تقسيم المياه الجنوبي بين روافد وادي سنور وروافد وادي غياضه، الى جانب بعض البقع المتاثرة في القطاع الأوسط لوادي سنور، ويبلغ سمكه نحو  $١٠٠ \text{ متر}$  ويعطي نحو  $٢١٧.٢٧ \text{ كم}^2$  من منطقة الدراسة بما يعادل حوالي  $٣٠.٥\%$ .

### - تكوينات مجموعة المقطم مختلطة:

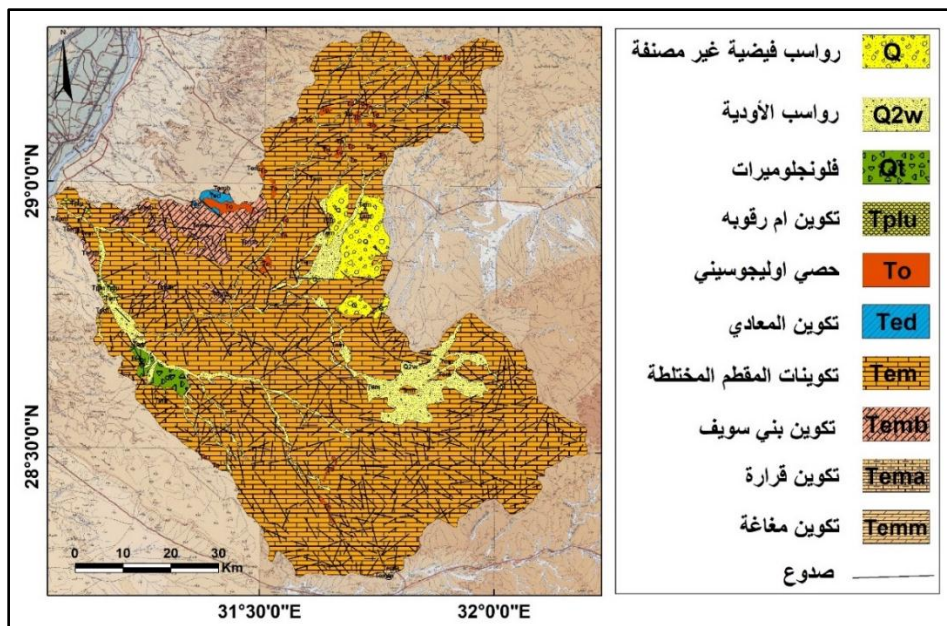
تتألف من الحجر الجيري مع العقد الصوانية وحفريات قروش الملائكة، ويتميز باللون الأبيض والصلابة والنسيج الناعم، يمثل هذه المجموعة بمنطقة الدراسة تكويني؛ تكوين الجيوشي في القمة يتسم بقلة الحفريات، تكوين جبل حوف في القاعدة ويتميز بكثرة حفريات قروش الملائكة، يبلغ سمك هذه التكوينات نحو ٣٥.٩٠ متر (Youssef, M., et.al, ١٩٧٨, p. ١٣٨) ويشكل معظم منطقة الدراسة حوالي ٥١٤١.٥٨ كم<sup>٢</sup> من المساحة الكلية لمنطقة الدراسة نحو ٨٢.٩٠٪.

### • تكوين المعادي: (ابوسين اعلى)

يحتوي هذا التكوين على صخور الحجر الجيري والطفل متداخل معهما الحجر الرملي بحري النساء، وتنتمي باللون الأصفر الفاتح، ويقتصر وجود التكوين على المنحدرات الشرقية والغربية لجبل غراب شمال منطقة الدراسة، ويغطي نحو ١٦.١٥ كم<sup>٢</sup> بما يعادل ٠٠.٢٦٪ من المساحة الإجمالية لمنطقة.

### - ٢- الحصى الاوليوجوسيني:

عبارة عن حصى وصخور رملية وكوارتزيت قارية النساء، ذات ألوان حمراء داكنة، وتغطي مساحة تقدر بحوالي ٦٣.٧٥ كم<sup>٢</sup> بنسبة ١٠٠.٣٪ من المساحة الإجمالية لمنطقة الدراسة، وتظهر على كلا جوانب الروافد الشمالية لوادي سنور مشكلة سلسلة من التلال تغطي سطح الحوض كذلك تمتد في نطاق تقسيم المياه الشمالي بين روافد وادي سنور وروافد وادي غراب.



Geological map of Egypt 1: 500,000, Beni Suef sheet (Conoco Coral), 1987

## خريطة رقم (٢) الخريطة الجيولوجية لحوض وادي سنور

### ٣- تكوين ام رقوبه: (بلايوسين)

ترجع تكوينات ام رقبة بمنطقة الدراسة الى عصر البلايوسين وتغطي حوالي ١٣ كم<sup>٢</sup> بما يعادل ٢١٪ من المساحة الكلية لمنطقة الدراسة، ويكون هذا التكوين من الحجر الرملي والطفل وكلونجلوميرات وحصى من الكوارتز والصوان، ويرقد بعدم توافق مع صخور الإيوسين؛ بسبب غياب التكوينات الجيولوجية بين عصري البلايوسين والإيوسين في منطقة الدراسة. ويتوزع التكوين فوق السطح في موضعين بحوض وادي سنور؛ الأول نطاق تقسيم المياه بين وادي غراب شمال مصب وادي سنور وبين وادي ام رقبة، وعلى كلا جانبي المجري الرئيسي علي بعد ٣٥ كم من المصب.

### ٤- رواسب الزمن الرابع

شملت رواسب البلايوستوسين والهولوسين، وهي تغطي جزءاً كبيراً من مساحة منطقة الدراسة، حيث بلغت نحو ٦٤٣.٤ كم<sup>٢</sup> بنسبة ١١.٩٩٪ من إجمالي مساحة المنطقة، حيث تغطي السهل الفيضي، وبطون وجوانب

الأودية ومصباتها، إلى جانب بعض أقدام المنحدرات، ويتشكل منها العديد من الظاهرات الجيومورفولوجية، كالصطاب، والمراوح الفيضية، ومخاريط الهشيم، والجزر الفيضية، وغيرها من الظاهرات وشملت:

- **فلونجلوميرات:** عبارة عن حصى من الحجر الجيري والصوان داخل قالب من الرمل الكوارتزيت، ويتراوح السمك بين بضع سنتيمترات إلى عدة أمتار (١٤٧- ١٤٨ متر) (Youssef, M., et.al, ١٩٧٨, pp. ١٤٧- ١٤٨) وتناثر على الجانب الجنوبي لوادي سنور في القطاع.
- **رواسب الأودية:** توجد في بطون وجوانب روافد الوادي وفي مصبها حيث جلبتها وأرسبتها في القطاع الأوسط والأدنى، وتتسم الرواسب بتباين مصادرها وصغر حجمها حيث يتراوح قطرها بين أقل من (١٤٦ مم: ٢٥٦ مم)
- **رواسب فيضية:** تباين هذه الرواسب بين الرواسب الناعمة جدا وبين الجلاميد، وتختلف درجة خشونتها من منطقة لأخرى ومدى استدارة الرواسب الفيضية، وتتألف من رواسب كلسية وطينية مختلطة، وتظهر في المنابع العليا في نطاق تقسيم المياه الشرقي بين روافد وادي سنور ورافد وادي عربة.

### - البنية الجيولوجية:

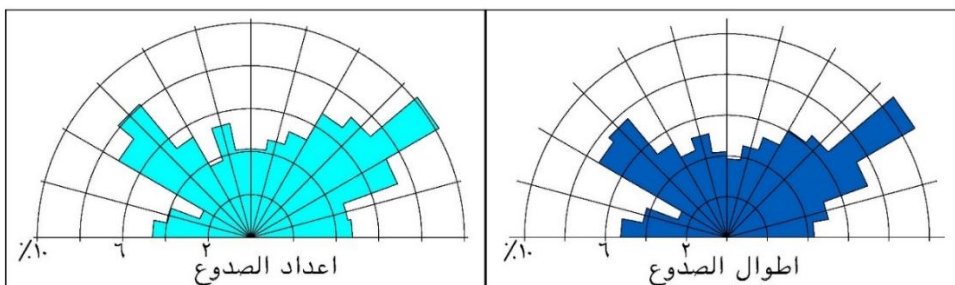
تشكل المظاهر البنوية المسارات الأولية التي تمارس عليه عوامل التعرية نشاطها، وبسبب قرب منطقة الدراسة من البحر الأحمر وخليج السويس فقد تعرضت للعديد من الحركات التكتونية، مما شكل محاور عملت من خلالها عمليات وعوامل التعرية على تقطيع وتخفيض سطح الحوض، تؤثر الصدوع وكثافتها في توجيه حركة المياه السطحية؛ حيث تشكل نطاقات ضعف في السطح مما يسهل عمل التعرية المائية، يمتد تأثير الصدوع على شكل ونمط شبكة التصريف من حيث (الاتجاه، الانحدار، الأعداد، وكثافة تصريف) يتضح من دراسة الخريطة البنوية لمنطقة الدراسة والجدول رقم (٢) وشكل رقم (١)، بلغ مجموع الصدوع بمنطقة الدراسة ٦٢٤ صدع، بمجموع أطوال ٢٤٢٦.٨٣ كم، بمتوسط طول ٣.٧٨ كم، وتبلغ كثافة الصدوع في منطقة الدراسة ٠٠٣٩ كم / كم٢ ، وهي تأخذ اتجاهين رئисين هما اتجاه شمال شرقي/جنوب غربي الموازي لخليج العقبة بنسبة ٢٤.١٤ % من اعداد الصدوع، يليه اتجاه شمال غربي/جنوب شرقي

المواري لخليج السويس بنسبة ٢٠.٧٢٪ من العدد الكلي للصدوع ، يليه اتجاه شرق شمال شرق / غرب جنوب غرب ١١.٨٤٪ ، يمثل اتجاه شمال شرق / جنوب غرب بمنطقة الدراسة السائد، حيث بلغ عددها ١٥٥ صدعاً، بطول ٥٧١.٧٦ كم، يليه اتجاه شمال غرب / جنوب شرق بمجموع ١٣٣ صدع بطول ٤٨٧.٧٩ كم؛ مما كان له أثر واضح في توجيه مسارات واتجاهات وزوايا النقاء الروافد.

### جدول رقم (٢) أطوال واعداد الصدوع بمنطقة الدراسة

الاتجاه	شمال / جنوب	شمال شرق / جنوب غرب	شمال شرق / جنوب غرب	شمال غرب / جنوب شرق	شمال غرب / جنوب شرق	شمال شرق / جنوب غرب	شمال شرق / جنوب غرب	العدد
العد	٥٣	٦٢	٦٦	٩٦٦	٨٢٦	٩٣٥	١٠٠	٦٤٢
%								
الطول كم	٨.٠١	٩.٧٨	٩.٥٦	٢٣٧.٣٤	١٩٤.٣٩	٤٨٧.٧٩	٤٨٧.٧٩	٢٤٢٦.٨٣
%								
مقياس ١: ٥٠٠.٠٠٠، ١٩٨٧، RockWorks٦ بالاعتماد على لوحة بنى سويف (كونوكورال)								

تمت القياسات باستخدام برنامج RockWorks٦ بالاعتماد على لوحة بنى سويف (كونوكورال)، مقياس ١: ٥٠٠.٠٠٠، ١٩٨٧.



شكل رقم (١) نسب اطوال واعداد الصدوع بمنطقة الدراسة

تلعب الفوائل دور هام في زيادة نشاط عمليات التجوية وفتقت السطح وتفككه، وبخاصة في صخور الحجر الجيري، حيث تساعده الفوائل على ارتفاع النفاية وزيادة تأثير التعرية المائية. قد تم قياس اتجاهات واطوال عدد ١٠٠ فاصل اثناء الدراسة الميدانية في تكوينات الإيوسين المختلفة، واتضح سيادة اتجاهين هما:

- فوائل ذات اتجاه شمال غرب / جنوب شرق تشكل نحو ٥٦٪ من أعداد الفوائل المدروسة بمنطقة الدراسة، وتراوحت أطوالها بين (٢٠:١٠ م)، في حين يتراوح متوسط اتساعها بين (٠٠٢٥:٠٠٥٠ م) وتنشر بصفة خاصة على كلاب جنبي المجري الرئيسي وفي المنابع العليا للوادي في هضبة الجلالة البحرية.

- فوacial ذات اتجاه شمال غرب / جنوب شرق: تمثل هذه الفوacial ٣١٪ من العدد الكلي للفوacial المدروسة، وترواحت أطوالها بين (٠.٩٠: ٠.٧)، ومتوسط اتساعها بين (٠.٢٥: ٠.١٠)، وتم قياسها في المنابع العليا للوادي في هضبة الجلة القبلية وفي جبل غراب.

#### **ب - السمات التضاريسية**

تؤثر الخصائص التضاريسية بشكل مباشر على عمليات النحت والإرساء؛ حيث يرتبط نشاط التعرية بصفة عامة بارتفاع قيم التضاريس المحلية ودرجة انحدار السطح:

- **التضاريس المحلية<sup>(٤)</sup>:**

توضح تباين المناسبات داخل منطقة الدراسة، وتشير القيم المرتفعة لتضرس المنطقة وزيادة سرعة الجريان السطحي وبالتالي زيادة معدلات التعرية المائية، في حين تشير القيم المنخفضة لاستواء السطح مما يزيد من دور الرياح في نحت الطبقات السطحية المغطاة بنواح عمليات التجوية وبراسة جدول رقم (٣) يتضح ما يلي:

- شكلت التضاريس المحلية أقل من (٦٠) نحو ٦٨.٣٨٪ من منطقة الدراسة، وتضم تقريباً كل الأجزاء المستوية ومتوسطة الانحدار خريطة رقم (٣)، وتنتركز في نطاق توزيع تكوينات الحجر الجيري الإيوسيني، حيث نشطت عليها التعرية المائية، وبعض الأجزاء داخل الكتلة الجبلية والتي تخرقها بعض مجاري الأودية، إلى جانب القطاع الأدنى لوادي سنور وأغلب هذه المناطق مغطاة برواسب مفكرة تتباين من مكان لأخر من حيث المصدر والحجم والشكل.

- تشغّل المناطق التي يزيد تضاريسية عن ١٦٠ متر نحو ٠٠.١٢٪ من إجمالي مساحة المنطقة، وتضم القمم الجبلية فوق سطح هضبة الجلة القبلية وتتسم بشدة الانحدار، بسبب صلابة الصخور التي تتتألف منها هذه الكتل ومقاومتها لفعل عوامل التعرية إلى جانب حركات الرفع التي صاحبت تكوين خليج السويس.

<sup>(٤)</sup> تم إنشاء خريطة التضرس المحلي والانحدار لمنطقة الدراسة باستخدام برنامج ArcGIS بالاعتماد على نموذج الارتفاع الرقمي ، حيث قسمت منطقة الدراسة لوحدات مساحية متساوية ؛ بلغت كل وحدة ١ كم<sup>٢</sup> ، ثم تم حساب الفرق بين أعلى وأعلى كنور لرسم خريطة التضرس المحلي، وقسمة الفارق الرأسى على المسافة الأفقية لرسم خريطة الانحدار، ثم تقسيم النواح لفنت.

### جدول رقم (٣) فئات التضاريس المحلية بمنطقة الدراسة

الفئة	أقل من ٤٠ م	٤٠ - ٦٠ م	٦٠ - ٨٠ م	٨٠ - ١٠٠ م	١٠٠ - ١٢٠ م	١٢٠ - ١٤٠ م	١٤٠ - ١٦٠ م	١٦٠ - أكثر من ١٦٠ م	الجملة
المساحة كم²	١٩١٣,٢٧	٢٣٢٧,٥٥	١٣٧١,٧٣	٢٨٥,٠٦	١١٦,٩١	١٤١,٣٥	٣٩,٠٤	٧,٣٠	٦٢٠٢,٢١
النسبة المئوية	٣٠,٨٥	٣٧,٥٣	٢٢,١٢	٤,٦٠	١,٨٨	٢,٢٨	٠,٦٣	٠,١٢	١٠٠,٠٠

- الانحدار<sup>(١)</sup>:

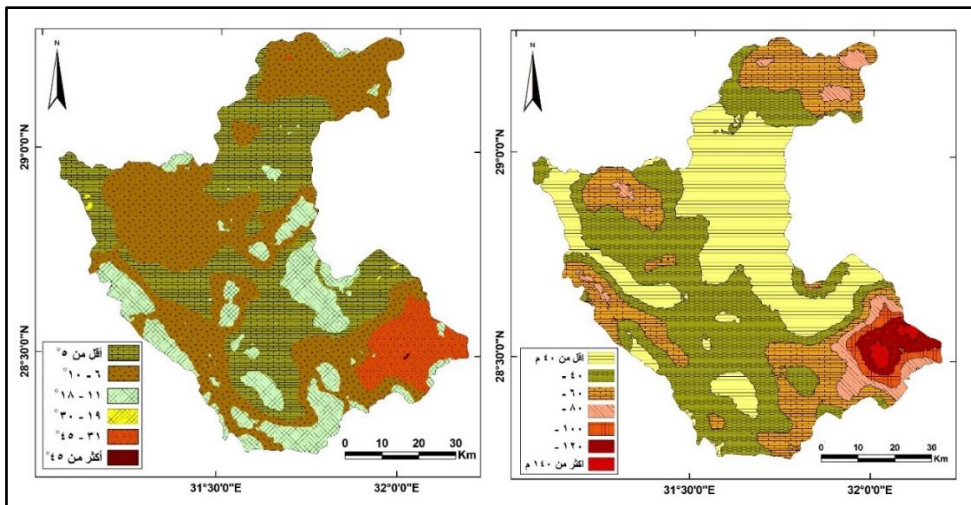
يبلغ معدل انحدارها العام نحو (١٢٠/١١٠)، كما يبلغ متوسط درجة انحدارها نحو ٥١°، تختلف درجة الانحدار من جزء إلى آخر داخل منطقة الدراسة، ويرجع ذلك لتباين الخصائص الليثولوجية للصخور، بالإضافة لتأثير الواضح للحركات التكتونية في تشكيل بعض الظاهرات وبخاصة الحواف الجبلية.

تعد المنطقة حسب تصنيف ينج (Young. A, ١٩٧٢, p.١٧٣) ضمن فئة الأرضي المستوية، مما يعطي نتيجة مضللة للمنطقة، ولتحديد مدى التباين في الانحدارات وإبراز الاختلافات المحلية بين أجزاء المنطقة ، تم رسم خريطة كوربليث الانحدار خريطة رقم (٣) ، و من دراسة الجدول رقم (٤) يتضح الاتي:

### جدول رقم (٤) فئات معدل الانحدار بمنطقة الدراسة

الفئة	أقل من ٥٥	٥٥ - ٥١	٥١ - ٤٦	٤٦ - ٤١	٤١ - ٣٦	٣٦ - ٣١	٣١ - ٢٦	٢٦ - ٢١	الجملة
المساحة كم²	٢٠٤٢,٤٠	٢٦٠٠,٩٠	١٠٠٩,٨٤	٨٨,٥٠	٤١٩,٤٥	٤١,١٢	٤١,١٢	٦٢٠٢,٢١	٦٢٠٢,٢١
النسبة المئوية	٣٢,٩٣	٢٠٤٢,٤٠	٧٤,٨٧	١,٤٣	٦,٧٦	٠,٦٦	٠,٦٦	١٠٠,٠٠	

- احتلت الانحدارات المتوسطة (٦٠:٦٠) المرتبة الأولى، حيث غطت حوالي ٢٦٠٠.٩٠ كم² بما يعادل ٤١.٩٤٪ من منطقة الدراسة، وظهرت في شمال المنطقة في نطاق تقسيم المياه، وفي نطاق جبل غراب وعلى اقدام منحدرات هضبة الجلالة القبلية، وجاءت الانحدارات المستوية (أقل من ٥٥) في المرتبة الثانية حيث بلغت ٢٠٤٢.٤٠ كم² نحو ٣٢.٩٣٪ من منطقة الدراسة وغطت اغلب نطاقات المجاري الرئيسية لوادي سنور. مثلت الانحدارات المتوسطة والمستوية حوالي ٧٤.٨٧٪ من المساحة الكلية لمنطقة الدراسة.



**خرائط رقم (٣) التضاريس المحلية وكوربليت الانحدار بحوض وادي سنور**

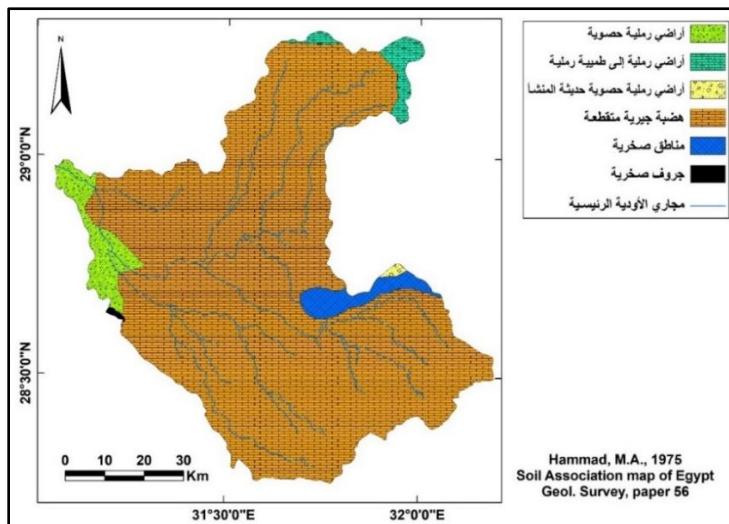
- جاءت الانحدارات فوق المتوسطة (١١٠٪١٨) في المرتبة الثالثة بنسبة ١٦.٢٨٪ من المنطقة وغطت نطاق تقسيم المياه الجنوبي لوادي سنور الى جانب بعض البقاع المتاثرة داخل حوض واي سنور.
- اقتصر ظهور الانحدارات الشديدة جدا والراسية على نطاق القمم الجبلية فوق سطح هضبة الجلالة القبلية حيث غطت ٤٦٠.٥٧ كم<sup>٢</sup> بما يعادل ٧.٤٢٪ من المساحة الكلية لحوض وادي سنور.

### جـ - التربة والغطاء النباتي

توضح الخريطة رقم (٤) أنواع الأراضي بمنطقة الدراسة كما يلي:

- **الاراضي الرملية الحصوية:** تقع في قمة المراوح الفيضية، وتتكون من نواتج عمليات تعرية التربة المائية في المناطق خفيفة الانحدار، تحتوي على رقائق جيرية وجبسية أحياناً، تتسم بالنفاية العالية للمياه، وتمثل تربة *Typic Haplocalcids, Typic Calcigypsids* حوالي ٤٩.١٥ كم<sup>٢</sup> حوالي ٤٠٪ من منطقة الدراسة، وتظهر في القطاع الأدنى على كلا جانبي المجرى الرئيسي لوادي سنور.
- **الاراضي الرملية الى طميية رملية:** تربة حديثة النشأة توجد فوق الاسطح الصخرية، تتسم بالنفاية العالية ومن أنواعها: *Typic Haplocalcids, Lithic Torriorthents* ، وتظهر في أقصى شمال منطقة الدراسة في نطاق خط تقسيم المياه على اقدام منحدرات هضبة الجلالة البحرية، وتشكل الأرضي الرملية/ طميية الرملية حوالي ١٤.٩٠ كم<sup>٢</sup> بما يعادل ٢٠.١٪ من المساحة الكلية لمنطقة الدراسة.

- **الأراضي الرملية الحصوية حديثة النشأة:** ترتكز فوق صخور الأساس، وهي قليلة السمك نظراً لحداثة نشأتها، تتكون في مجملها من خليط من نواتج عمليات التجوية وتتجمع على الأسطح هيئة الانحدار، وتتسم بعدم التجانس والتلامس والنفاذية العالية، تمثل تربة *Typic Torripsamments* التربة الرئيسية، وتغطي نحو ١٢.٤٩ كم٢ ما يعادل ٠٠.٢٠٪ من منطقة الدراسة، ويفترض ظهورها في نطاق المنابع العليا فوق سطح هضبة الجلة القبلية.



**خرائط رقم (٤) أنواع الأراضي بمنطقة الدراسة تربة**

- **الهضبة الجيرية المقاطعة:** تمثل التكوينات الإيوسينية وتبدو مقطعة وعرة، حيث يكتنفها العديد من المجاري الغائرة والعديد من حفر الإذابة؛ بسبب نشاط التعرية المائية وعمليات التجوية في توسيع الشقوق والفوائل والصدوع، وتغطي اغلب منطقة الدراسة حوالي ٥٦٤.٤٨ كم٢ أي ٩١.١٧٪ ويرتبط معدل استجابة الصخور الجيرية لعمليات التجوية لعدة عوامل منها؛ ليثولوجيا الصخر وانحدار السطح والغطاء النباتي.
- **المناطق الصخرية:** تظهر على اقدام المنحدرات الجنوبية لوادي سنور في قطاعه الأوسط، وتتسنم بالوعورة وقلة النفاية للمياه وانحدار السطح الشديد، وتغطي المناطق الصخرية مساحة محدودة من المنطقة حوالي ٧.٦٧ كم٢ نحو ٠.١٢٪ من المنطقة.
- **الجروف الصخري:** تظهر في نطاق تقسيم المياه بين روافد وادي سنور والروافد الجنوبية لوادي عربة مشكلة حافة ثانوية فوق السطح الهضبي، وهي منحدرات عارية من الرواسب والمفتلات، وتغطي ١٥٣.٥٢ كم٢ حوالي

٤٨٪ من منطقة الدراسة.

#### **الغطاء النباتي:**

يسهم في الحد من فعل التعرية المائية والريحية من حيث نحت وانجراف التربة ، ونظرا لطبيعة منطقة الدراسة الصحراوية وندرة الامطار ؛ فقد انعكس ذلك على ندرة او انعدام الغطاء النباتي في معظم حوض وادي سنور ، واقتصر ظهور النباتات المحدود على بعض النباتات الحولية المرتبطة بالتساقط وتتركز في بطون الاودية ومصباتها ؛ حيث ترتفع نسبة الرطوبة وقرب المياه الباطنية، مما يشير لزيادة تأثير التعرية المائية عقب الجريان السيلي؛ حيث يتم اكتساح الطبقة السطحية المفككة وحرمان التربة من الرواسب الناعمة التي تعمل على تماسكها؛ مما يعطي الفرصة للرياح للقيام بدورها في نحت ونقل الرواسب وترك السطح عاري وبخاصة على المنحدرات والمناطق الصخرية.

#### **د- المناخ**

تشكل الخصائص المناخية العامل الرئيسي في تكوين التربة، حيث تختلف خصائص التربة باختلاف الظروف المناخية، وتعد درجة الحرارة ونسبة الرطوبة والامطار والرياح أهم العناصر المناخية التي تؤثر على عملية تكوين التربة او انجرافها وبخاصة في المناطق الصحراوية، إلى جانب ذلك تؤثر التغيرات الفصلية واليومية لدرجة الحرارة على مدى فاعلية عمليات التجوية على صخور الاساس من حيث التجوية وتفتت الصخور. كذلك يؤثر المناخ على كثافة الغطاء النباتي بالمنطقة، وتم الاعتماد على ثلات محطات مناخية (السويس،بني سويف،المنيا) لتغطية منطقة الدراسة وفيما يلي دراسة هذه العناصر كالاتي:

#### **جدول رقم (٥) الخصائص المناخية بمنطقة الدراسة**

الموقع														اسم المحطة						
العام	السنوي	ال معدل	الرطوبة النسبية%	الاطمار الملم	سرعة الرياح عconde/ ساعة	الارتفاع	العنصر المناخية	الموقع	الرطوبة النسبية%	الاطمار الملم	سرعة الرياح عconde/ ساعة	الارتفاع	العنصر المناخية	الموقع	الرطوبة النسبية%	الاطمار الملم	سرعة الرياح عconde/ ساعة	الارتفاع	العنصر المناخية	
٢٢,٤٠	١٥,٨	٢٠,٤	٢٤,٢	٢٧	٢٨,٩	٢٨,٩	٢٧,٩	٢٥	٢٢	١٨	١٦	١٤,٧	متوسط درجة الحرارة	٣٢,٢٨	٥٥	٥٦	٥٥	٥٥	٥٤	٥٤
٥٠,٧٥	٥٥	٥٦	٥٥	٥٥	٥٠	٤٤	٤٤	٤٤	٤٢	٤٦	٥٣	٥٥	٥٢	٥٢	٥٢	٥٢	٥٢	٥٢	٥٢	٥٢
١,٦٣	١,٣	١	٦,٢	٠	٠	٠	٢,٦	٠,٦	٢,٦	٠,٣	٥	٥	٥	٥	٥	٥	٥	٥	٥	٥
٨,٣٨	٦,٢	٧	٩,٥	٨,٤	٨,٥	٩	٩,٥	٩,٧	٩,٣	٨	٧,٥	٨	٨	٨	٨	٨	٨	٨	٨	٨
٢١,٨٤	١٣,٧	١٨,٦	٢٣,٦	٢٧,٤	٢٨,٩	٢٩,١	٢٨,٧	٢٥,٨	٢٢	١٧,٦	١٤,٥	١٢,٢	١٢,٢	متوسط درجة الحرارة	٣٢,٤٨	٢,٤٨	٢,٤٨	٢,٤٨	٢,٤٨	٢,٤٨
٤٦,٠٠	٥٧	٥٧	٤٩	٤٧	٤٧	٤٣	٣٦	٣٥	٣٦	٤١	٤٨	٥٦	٥٦	٥٦	٥٦	٥٦	٥٦	٥٦	٥٦	٥٦
٠,٩٨	٤	٠,٩	٠,٧	٠	٠	٠	١	٠,٦	١,٢	١,٤	٢	٢	٢	٢	٢	٢	٢	٢	٢	٢
٤,٩١	٦,١	٤,٥	٥	٦,١	٣,٨	٥,٥	٦,٤	٤,٣	٦,٧	٣	٣,٤	٤,١	٤,١	٤,١	٤,١	٤,١	٤,١	٤,١	٤,١	٤,١
٢١,١٨	١٣,٤	١٨,٢	٢٣,١	٢٥,٨	٢٨,٢	٢٨,٥	٢٨	٢٥,٧	٢١,٤	١٦,٧	١٣,٤	١١,٨	١١,٨	متوسط درجة الحرارة	٣٢,٣٩	٣,٣٩	٣,٣٩	٣,٣٩	٣,٣٩	٣,٣٩
٤٩,٩٢	٦٢	٦٠	٥٤	٥٤	٥١	٤٥	٣٩	٣٥	٤٠	٤٨	٥٣	٥٨	٥٨	٥٨	٥٨	٥٨	٥٨	٥٨	٥٨	٥٨
٠,٣٣	٠,٥	٠,١	٠,٤	٠,٠٠١	٠,٠٠١	٠	٠,٠٠١	٠,٤	٠,٣	٠,٣	١,٥	٠,٥	٠,٥	٠,٥	٠,٥	٠,٥	٠,٥	٠,٥	٠,٥	٠,٥
٦,٦٠	٤,٥	٥,٩	٦,٣	٧,١	٦,١	٧	٩	٨,٥	٨	٦,٣	٥,٥	٥	٥	٥	٥	٥	٥	٥	٥	٥

المصدر: الهيئة العامة للأرصاد الجوية، الإحصاءات المناخية، القاهرة، في الفترة الممتدة من عام ١٩٨٠ إلى عام ٢٠١٥.

تم الاعتماد على قيم هذه المحطات في رسم خطوط تساوي للعناصر المناخية بحوض وادي سنور، وقد أمكن

استخلاص النتائج التالية:

#### - درجة الحرارة:

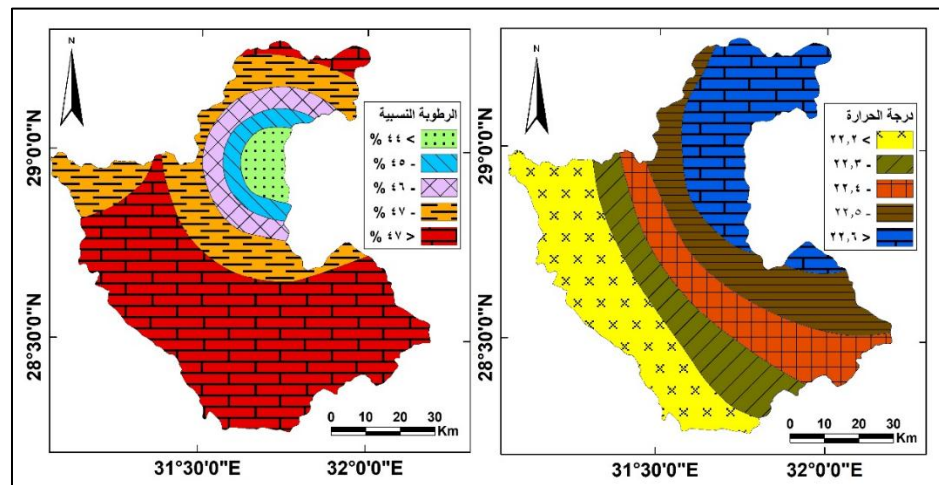
تبين معدلات درجات الحرارة داخل مختلف اجزاء الحوض خريطة رقم (٥)، حيث سجلت منطقة المصب اقل معدل سنوي للحرارة  $٢١.٦١^{\circ}\text{C}$  في حين بلغ معدل الحرارة أقصاه في الأجزاء الشمالية الشرقية من الحوض  $٢٢.٤٠^{\circ}\text{C}$ ، مما يشير لزيادة عمليات التجوية واتساع الفوائل والشقوق بفعل التمدد والانكماش، وبالتالي نفاذ الرطوبة من خلال الفوائل والشقوق وزيادة تحلل الصخور الجيرية.

مثلث درجة الحرارة  $٢٢.٢٠^{\circ}\text{C}$  أكثر المعدلات تمثيلاً في الحوض حيث غطت حوالي  $١٦٥.٥٤\text{ km}^2$  من المساحة الكلية لحوض وادي سنور، يليه معدل درجة حرارة  $٢٢.٦٠^{\circ}\text{C}$  مساحة  $١٣٨٧.٩٧\text{ km}^2$ ؛ ان انهما يغطيان نحو ٤٩.٢٣٪ من مساحة الحوض ويمثلاً قيم متوسطة لمعدلات الحرارة بمنطقة الدراسة. وبصفة عامة يؤدى ارتفاع معدلات الحرارة لزيادة التبخر؛ مما يقلل من رطوبة الرمال وتركتها مفككة عرضة لفعل الرياح، بالإضافة لصعود المياه الباطنية.

- الرطوبة النسبية:

بلغت الرطوبة أقصى معدل لها في جنوب وجنوب غرب المنطقة؛ حيث غطي معدل الرطوبة أكثر من ٤٧٪ حوالى ٣٦٩٣.٢٥ كم٢ بما يعادل نحو ٦٠.٥٢٪ من مساحة الحوض؛ ويرجع ذلك لتأثير المسطح المائي لنهر النيل على منطقة الدراسة، يليه معدل الرطوبة (٤٦٪) حيث تغطي النطاق الأوسط للحوض بنسبة ٢٣.١٧٪ بما يعادل ٤١٣.٥٩ كم٢، بينما تتحفظ معدلات الرطوبة النسبية بالاتجاه نحو الشمال الشرقي لتبلغ أقل من ٤٤٪، مما يشير بشكل عام لتناقض الرطوبة النسبية بالاتجاه نحو الشمال الشرقي.

تبين ارتفاع معدل الرطوبة النسبية لمنطقة الدراسة في فصل الشتاء، حيث بلغت حوالى ٦١.٥٤٪، يليه فصل الخريف ٤٨.٨٧٪، ثم فصلي الربيع والصيف، فبلغا على الترتيب ٤٣.٩٦٪، ٣٧.٨٤٪.



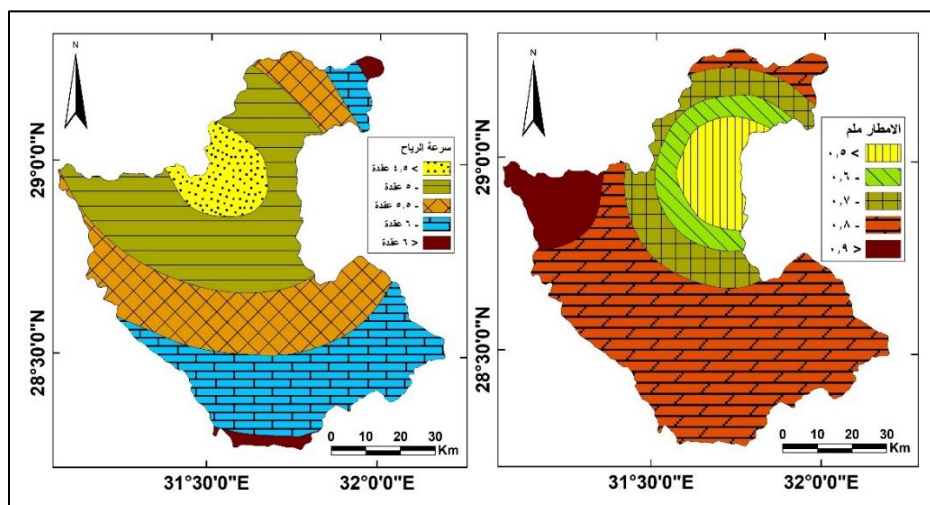
خرائط رقم (٥) خطوط التساوي لمعدلات الحرارة والرطوبة النسبية بحوض وادي سنور

- الامطار:

تنخفض كميات الامطار على منطقة الدراسة حيث لم يتعدى المعدل العام لمنطقة ١١.٨ مم، تتركز أكبر كميات الامطار في المنابع العليا لوادي سنور في هضبة الجلاة البحرية، تتناقص كميات الامطار الساقطة بالمنطقة بالاتجاه نحو الجنوب الغربي خريطة رقم (٦)، يلاحظ ارتفاع اجمالي الامطار السنوية على محطة السويس ٩٠.٦ ملم، يليه محطةبني سويف ١٠.٨ ملم، في حين انخفضت بدرجة كبيرة على محطة المنيا ٤ ملم، ويرجع انخفاض كميات المطر بمنطقة الدراسة لقلة وصول منخفضات البحر المتوسط المحملة ببخار المياه.

سجل متوسط التساقط في فصل الشتاء أكبر كميات سقطت بمنطقة الدراسة ١٠٨٣ مم، يليه فصل الربيع بلغ ٧٠٠٧ مم، يليه فصل الخريف ١٠٠٣ مم، وتترد الأمطار في فصل الصيف؛ ويرجع سبب ارتفاع متوسط التساقط بمنطقة الدراسة في فصل الشتاء لارتفاع كميات الأمطار الساقطة على محطة السويس، وترجع الأمطار في فصل الخريف للعواصف الانقلابية وأهم ما يميزها غزارة أمطارها وقصر مدتها (صالح، ١٩٩٩، ص ١٣).

على الرغم من قلة سقوط الأمطار بصفة عامة على حوض وادي سنور إلا أن المنطقة تتعرض لعدد من الرخات الفجائية (٤) لها تأثير واضح على تشكيل سطح الأرض؛ من حيث الجريان السيلي وتعريمة التربة وتجريدها من غطاء المفتتات، كما أن لها تأثير غير مباشر وهو نشاط عمليات التجوية مما يهيئ البيئة المناسبة لتقوم المياه بدورها كعامل تعريمة.



خرائط رقم (٦) خطوط التساوي لمعدلات المطر وسرعة الرياح بحوض وادي سنور

#### - الرياح:

تساعد سرعة الرياح السطحية على زيادة معدلات التبخر، مما يؤدي لقلة الرطوبة بين حبيبات التربة وتفككها ويزيد من تأثير التعريمة الريحية على الطبقة السطحية للتربة، بدراسة جدول رقم (٥) تباينت معدلات سرعة الرياح بالعقدة (٥) بين محطات منطقة الدراسة؛ حيث جاءت محطة السويس في المرتبة الأولى بمعدل عام (٨.٣٨ عقدة/ ساعة)، يليه محطة المنيا (٦.٦ عقدة/ ساعة)، في حين لم يتعد معدل سرعة الرياح فيبني سويف عن (٤.٩١ عقدة/ ساعة).

<sup>(٥)</sup> محطةبني سويف ٢٠ مم ١١/٢٤ ، ١٩٧٢/١١ ، محطة السويس ٤٩.٦ مم ١٠/٦ ، ١٩٦٥/٢ ، محطة المنيا ١١.٥ مم ٢/٢١ ، ١٩٧٩ (الهيئة العامة للأرصاد الجوية، استماررة رقم ١٢١ ج)

<sup>(٦)</sup> العقدة = ١.٨٥ كم / ساعة

سجل معدل سرعة الرياح بمحطة السويس في شهر ديسمبر أقل معدل لسرعة الرياح (٦.٢ عقدة) بينما سجل شهر مايو أعلى معدل (٩.٧ عقدة)، وتراوح معدل سرعة الرياح بمحطة بنى سويف بين (٣:٦.٧ عقدة)، وجاء شهر مارس أقل سرعة في حين شكل شهر مايو أعلى سرعة. بلغ معدل سرعة الرياح في محطة المنيا أقصاه في شهر مايو (٨.٥ عقدة) وسجلت أدنى سرعة في شهر ديسمبر (٤.٥ عقدة).

بدراسة خطوط التساوي لسرعة الرياح خريطة رقم (٦) اتضح تزايد سرعة الرياح بشكل مطرد بالاتجاه نحو الجنوب الشرقي؛ ويرجع ذلك لتأثير العواصف على سرعة الرياح خلال فصل الربيع الواضح على محطة السويس والمنيا.

#### و- الخصائص المورفومترية والهييدرولوجية لحوض وادي سنور

تم دراسة الخصائص المورفومترية والهييدرولوجية لحوض وادي سنور واحواضه الثانوية كما يوضح الجدول رقم (٦) ويمكن استخلاص عدد من النتائج:

- يتسم حوض وادي سنور بالمساحة الحوضية الكبيرة حيث بلغ نحو ٦٢٠٢.٢١ كم<sup>٢</sup>؛ مما يشير لعظم كميات المياه التي يستقبلها الحوض وبالتالي زيادة كميات التصريف المائي وزيادة قدرته على النحت وجرف التربة، بلغ المتوسط العام للأحواض الثانوية ١٠٣٣.٧ كم<sup>٢</sup>، حيث تراوحت القيم بين ١٧٥٦.٥١ كم<sup>٢</sup> لحوض وادي مواثيل، وبين ٣٣٦.٧٢ كم<sup>٢</sup> لحوض وادي أرحب.

- يميل حوض وادي سنور للاستطاله حيث بلغ (٤٠.٤١) مما يشير لانتظام التصريف المائي في توزيعه الزمني وحدوث قمتين تصريف اثناء الجريان السيلي؛ الاولى في المنابع العليا عقب التساقط والثانية عند المصب مما يزيد من فعل التعرية المائية وزيادة انجراف التربة على طول محاور المجرى الرئيسية، وبصورة عامة تميل الاخواض الثانوية للاستطاله حيث تراوحت بين (٤٠.٤٢) لحوض وادي أرحب وبين (٤٠.٢٦) لحوضي وادي أبو رمث وملييج.

- بلغ الرقم الجيومترى لحوض وادي سنور ٤٨٠٠٤ مما يشير لتقديم الحوض في دورته الجيومورفولوجية وتخفيف سطح الحوض بفعل شبكات التصريف، وتراوح الرقم الجيومترى بين ٣٤٨.٤٢ لحوض وادي ملييج وبين ١٠٤.١٤ لحوض وادي أرحب.

- بلغ مجموع اعداد المجرى ٣١٧٥٢ لحوض وادي سنور ورتبة المجرى الرئيسي الرتبة الثامنة مما يشير لزيادة كميات الجريان السيلي (أبو راضي، ١٩٩١، ص ٣٣٦)، وقد تبينت الرتب للأحواض الثانوية بين السابعة لأحواض (المعزة، مواثيل، أبو رمث) والرتبة الخامسة لحوض وادي أرحب.
  - بلغ متوسط معدل التشعب لمنطقة الدراسة (٤٠٠٤) ويعكس ذلك إمكانية حدوث الجريان السيلي مع إعطاء سريان سطحي سريع وبالتالي زيادة قدرة التعرية المائية على نحت وانجراف التربة، وبلغ معدالت التشعب أقصاه في حوض وادي مواثيل، في سجل معدل التشعب ادنى قيم في حوض وادي مليلاج ٤٠٦٠ مما يشير لسرعة تكون الجريان السيلي وانجراف التربة.
  - يقع حوض سنور ضمن الأحواض ذات النسيج الناعم ٦٥.٦٢ مجري/ كم حسب تصنيف موريساوا (Morisawa, ١٩٨٥, p.١٥٠) مما يوضح تقطع سطح الحوض بفعل مجريه وزيادة التعرية الجدولية وبالتالي انجراف التربة السطحية، وبدراسة النسيج الحوضي للأحواض الثانوية اتضح وقوعها ضمن فئة الأحواض ذات النسيج الناعم، ماعدا حوض وادي أرحب (نسيج متوسط)؛ ولعل ذلك يرجع لصغر المساحة الحوضية وزيادة التضاريس في منابعه العليا.
  - بدراسة الخصائص الهيدرولوجية لحوض سنور بلغ زمن التركيز للحوض نحو ١٠.٣٨ ساعة، وقد تبين زمان التركيز على مستوى الأحواض الثانوية، حيث بلغ ١٥.٤٣ ساعة في حوض مواثيل في حين بلغ ٧.١٤ ساعة في حوض أرحب، ولعل ارتفاع زمان التركيز يرجع للطول الحوض الواضح لهذه الأحواض.
  - بلغ مجموع كميات التصريف المتوقعة لحوض سنور ١٨٦.٧٩ مليون م٣، واحتل حوض مواثيل المرتبة الاولى ٥٢.٩٠ مليون م٣ في حين جاء حوض مليلاج في المرتبة الأخيرة ٢٦٠٧ مليون م٣، وتعد كميات المياه مؤشر واضح لقدرة الجريان السيلي على نحت وجرف التربة واقتراض الرواسب والمفخنات.
- جدول رقم (٦) بعض الخصائص المورفومترية والهيدرولوجية للأحواض الثانوية لوادي سنور

الحوض العنصر	الاحواض الثانوية لوادي سنور						
	حوض وادي سنور	ملينج	أبورمث	أرحب	المجري الرئيسي	موائل	المعزة
المساحة كم ٢	٦٢٠٢,٢١	٧٣٩,٣٨	١٣٧٨,٣٩	٣٣٦,٧٣	٥٣٠,٨٧	١٧٥٦,٥١	١٤٦٠,٣٣
المحيطكم	٤٨٣,٨٥	١٧٩,٩٤	٢٤٤,٢٢	٨٩,٩٨	١٥٨,٢٨	٢١٩,٨٥	٢٢٨,٠٢
الطول الحوضي كم	١٢٣,٥٠	٦٦,٧٥	٩١,٣٥	٢٧,٦٥	٤٧,٣٠	٨٢,٥٥	٧١,٢٥
العرض كم	٥٤,٢٥	١٣,٥٠	٢٥,١٤	١٦,٢٢	١٢,١٥	٢٦,٣٦	٢٠,٩٥
الاستطاله	٠,٤١	٠,٢٦	٠,٢٦	٠,٤٢	٠,٣١	٠,٣٢	٠,٣٤
الاستدارة	٠,٣٣	٠,٢٩	٠,٢٩	٠,٥٢	٠,٢٧	٠,٤٦	٠,٣٥
معامل الشكل	٠,٤١	٠,١٧	٠,١٧	٠,٤٤	٠,٢٤	٠,٢٦	٠,٢٩
معامل الانبعاج	٠,٦١	١,٥١	١,٥١	٠,٥٧	١,٠٥	٠,٩٧	٠,٨٧
معامل الاندماج	٣,٠١	٣,٤٩	٣,٤٥	١,٩١	٣,٧٦	٢,١٩	٢,٨٣
التعرج النسبي للمحيط	٣٧,٧٥	٤٣,٧٩	٤٣,٢٧	٢٤,٠٤	٤٧,١٩	٢٧,٥٢	٣٥,٦٠
طول المجري الرئيسي كم	٦٣٢٢,٢٣	٩٠,٦٥	١٢١,٧٢	٣٨,٢٥	٦٥,٠٠	١١٠,٧١	١١٣,٢٥
الفارق الراسبي م	١٠٨١	٤٤٦	٥٥١	٢٣٣	٢٠٠	٤٩٥	٩١١
معدل الانحدار م/م	٦,٦٦	٤,٩٢	٤,٥٣	٦,٠٩	٣,٠٨	٤,٤٧	٨,٠٤
معدل التضرس	٠,٠٠٩	٠,٠٠٧	٠,٠٠٦	٠,٠٠٨	٠,٠٠٤	٠,٠٠٦	٠,٠١٣
قيمة الوعورة	٤,٢٠	٢,٣٣	١,٩٠	٠,٨٨	٠,٧٦	١,٨١	٣,٦٠
الرقم الجيومترى	٤٨٠,٠٤	٣٤٨,٤٢	٣١٥,١٦	١٠٤,١٤	١٧٩,٧٠	٣٠٢,٤١	٢٨١,٦٦
مساحت اطوال المجارى كم	٢٤١٠٧,٦١	٣٨٥٩,٣٧	٤٧٥٥,٤٤	١٢٦٨,٢٢	٢٠١٦,٨٤	٦٤٣٤,٨٠	٥٧٧٢,٩٤
اعداد المغارى	٣١٧٥٢	٤٤٢٤	٥٥٠٤	١٨١٦	٢٧٩٠	٩٨٤٠	٧٣٧٨
رتب	٨	٦	٧	٥	٨	٧	٧
معدل التشعب	٥,٠٤	٤,٦٠	٤,٨٧	٥,٣٣	٤,٦١	٦,١٤	٤,٦٧
كثافة التصريف	٣,٨٩	٥,٢٢	٣,٤٥	٢,٧٧	٣,٨٠	٣,٦٦	٣,٩٥
تكرار المغارى	٥,١٢	٥,٩٨	٣,٩٩	٥,٣٩	٥,٢٦	٥,٦٠	٥,٥٥
النسيج الحوضى	٦٥,٦٢	٢٤,٥٩	٢٢,٥٤	٢٠,١٨	١٧,٦٣	٤٤,٧٦	٣٢,٣٦
كمية التصريف مم Q	١٨,٧٧	٢١,٩٢	٢٠,٢٦	١٧,٢٨	١١,٤١	١٨,٧٢	٢٠,٢٦
التصريف الانقضى م/ثانية Qmax	٢١٢٤٨,٧٥	٢٧٣٥,٣٣	٢٢٠١,٢٣	١٦٩٧,٦٩	١٠٢٧,٠٢	٤٤٣٨,٢٧	٦٢٨١,٧٧
زمن التركيز بالساعة Tc	١١,٣٨	١٢,٣٤	١٨,١٧	٧,١٤	١٢,٢٩	١٥,٤٣	٩,٨١
مجموع حجم التصريف	١٨٦,٧٩	٢٦,٠٧	٤٤,٩٣	٩,٣٦	٩,٧٥	٥٢,٩٠	٤٧,٦٠
المتوقع مليون م Qv³							

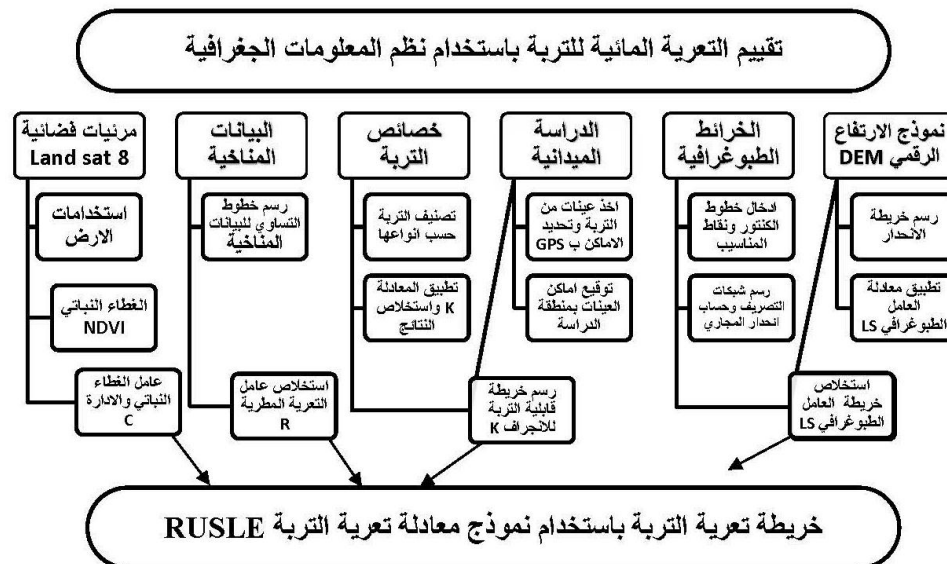
تم الاعتماد على نموذج الارتفاع الرقمي باستخدام برنامج Arc GIS 10.3 في استخلاص شبكات التصريف واجراء القياسات المورفومترية.

استخدم نموذج حماية التربة الأمريكية SCS لحساب الخصائص الهيدرولوجية.

### ثالثاً: نتائج تطبيق نموذج التعرية المائية للتربة

يبرز نموذج المعادلة العالمية RUSLE لتعريف التربة دور التعرية المائية في نحت وجرف التربة، وتم حساب معدلات تعريف التربة بالاعتماد على عدد من المتغيرات باستخدام برنامج نظم المعلومات الجغرافية Arc GIS؛ حيث تم تحليل البيانات وتحويلها لطبقات من المعلومات Raster ليسهل التعامل معها واستخلاص النتائج ورسم خريطة تعريف التربة.

يوضح شكل رقم (٢) خطوات تحليل البيانات واستخلاص نتائج المتغيرات ضمن نموذج المعادلة العالمية RUSLE للوصول للمعدلات السنوية لتعريف التربة.



#### - عامل التعرية المطرية (R) (جول / هكتار)

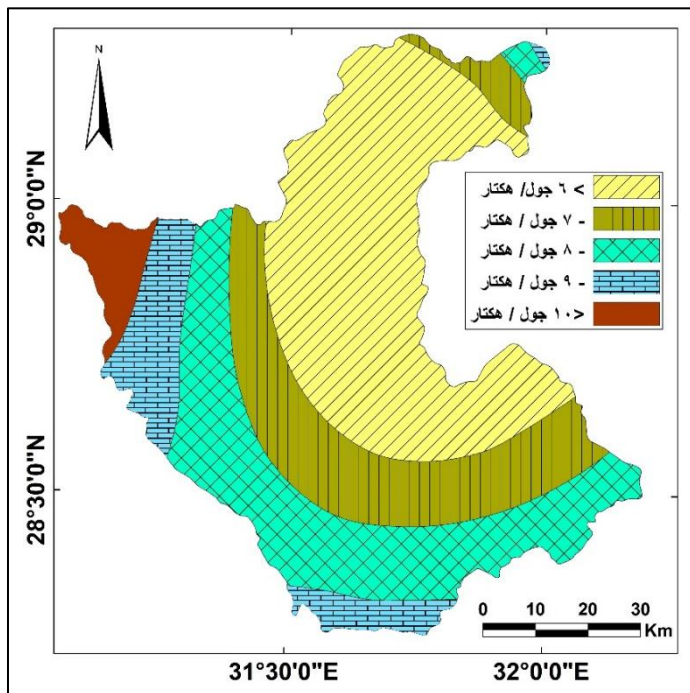
يدرس هذا العامل الطاقة الحركية الناتجة عن التصادم المباشر ل قطرات المطر مع حبيبات التربة ودورها في التآكل وتفكيك التربة وانجراف الطبقة السطحية للترفة، ويقدر (جول/هكتار)، ويعتمد في حسابه على كميات تساقط الأمطار؛ من حيث شدة التساقط والكميات خلال العام، ويتم احتسابها على النحو المذكور سابقاً من المعادلات حسابياً؛ من خلال تطبيق معادلة فيوريه تم استخلاص خريطة قيمة R خريطة رقم (٧) ويمكن

استنتاج التالي:

- اتسمت قيم عامل التعرية المطرية (R) بانتظام التوزيع؛ حيث تتزيد بالاتجاه نحو اطراف منطقة الدراسة، مشكلة بؤرة مركبة في وسط منطقة الدراسة؛ وترتفع قيم عامل التعرية المطرية في شمال شرق المنطقة بسبب ارتفاع كميات المياه الساقطة على محطة السويس، ويرجع ذلك لاعتراض الكتل الجبلية اتجاه الرياح المحملة ببخار الماء، حيث تضطر الرياح لارتفاع لتخطيها مما يزيد من فرص التساقط على شمال شرق منطقة الدراسة، في حين يرجع زيادة القيم بالاتجاه نحو الجنوب الغربي حيث السهل الفيوضي لنهر النيل وارتفاع كميات الرطوبة النسبية.

- تراوحت قيم (R) بين (٢.١١ - ١٠.٨٢ جول/ هكتار) وقد غطت قيم التعرية المطرية (أقل من ٦ جول/ هكتار) حوالي ثلث منطقة الدراسة (٣٩.٩٠٪) من منطقة الدراسة، يليه قيم التعرية المطرية (٨ جول/ هكتار) بنسبة ٢٥.٧٥٪، ثم قيم (٦ - ٧ جول/ هكتار) حيث بلغت حوالي ٢١.١٦٪، في حين لم تتعدي

المساحة المغطاة بالقيم المطرية (أكبر من ١٠ جول / هكتار) نحو ٣.٧٥٪ من المساحة الكلية لمنطقة الدراسة وتتركز في منطقة المصب الرئيسي لوادي سنور.



**خرائط رقم (٧) عامل التعرية المطرية (R) بحوض وادي سنور**

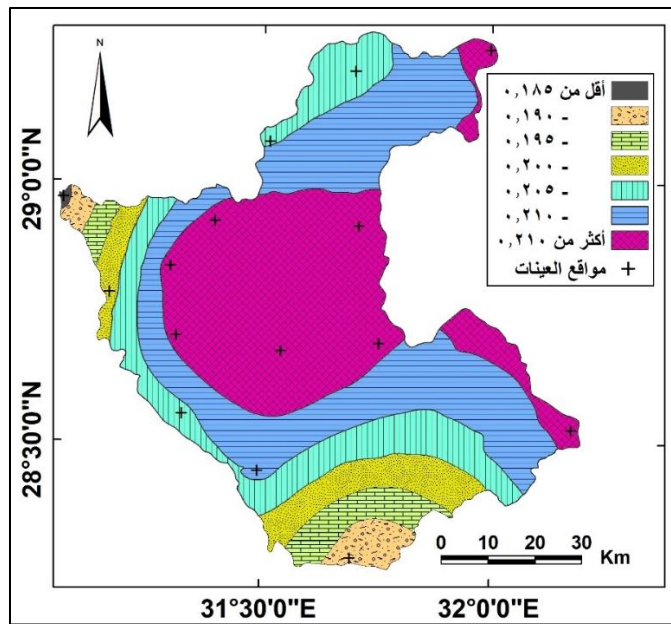
بدراسة قيمة (R) ملحق رقم (١) على مستوى الاحواض الثانوية نجد ان:

- جاء حوض المجري الرئيسي في المرتبة الاولى للقيم القصوى للتعرية المطرية (١٠.٨٢ جول / هكتار) يليه حوض أرحب (٩.٨٢ جول / هكتار) في حين جاء حوض وادي مليح في المرتبة الأخيرة (٦.٩١ جول / هكتار).
- تراوح مدي التعرية المطرية بين (٦.١٧ جول / هكتار) لحوض وادي أبو رمث وبين (٣٠٣ جول / هكتار) لحوض وادي مليح.
- شكل حوض المجري الرئيسي أعلى متوسط لقيم التعرية المطرية (٨.٥٩ جول / هكتار) يليه حوض أرحب (٧.٦٨ جول / هكتار)، في حين سجل حوض أبو رمث أدنى متوسط لقيم التعرية المطرية (٤.٥٣ جول / هكتار).

## • عامل قابلية التربة للتعرية (K)

يعتمد عامل قابلية التربة للتعرية على الخصائص الطبيعية للتربة وبخاصة نسيجها، الى جانب نسبة المواد العضوية في التربة حيث يؤدي ارتفاعها لزيادة تماسك التربة والعكس، ولتحقيق ذلك تم اخذ عدد ١٥ عينة واجراء التحليل الميكانيكي والكيميائي لهذه العينات كما يوضح ملحق رقم (٢)، بتطبيق المعادلة المستخدمة لحساب قابلية التربة للتعرية (K) أمكن رسم خريطة لنطاقات التعرية خريطة رقم (٨) ومنها يتضح الاتي:

- ارتفعت قيم قابلية التربة للتعرية (K) في التربة ذات القوام الطمي حيث بلغت أقصاه (٠٠٢٣)، في حين سجلت التربة الطينية اقل القيم (٠٠١٦) ويرجع ذلك لزيادة الرطوبة الناتجة عن ارتفاع المسامية وبالتالي زيادة التماسك، وسجلت باقي العينات قيم متوسطة للتربة (طيني رملي، طمي طيني رملي) تراوحت بين (٠٠١٩ : ٠٠٢٢) ويرجع ذلك لارتفاع نسب الرمل بها مما يزيد من احتمالية تسرب المياه الى جانب ارتفاع نسب الطين بها.
- سجلت القيم المرتفعة (K) (اكثر من ٠٠٢١٠) المرتبة الاولى حيث غطت حوالي ٣٥.٠٨٪ من المساحة الكلية لمنطقة الدراسة، وتركزت في نطاق التقاء الروافد الرئيسية بحوض وادي سنور بالجري الرئيسي، حيث الانحدار الواضح للسطح والصخور الجيرية مما يعكس الدور الواضح للجريان السطحي في اتساع ونحت التربة عقب تجمع المياه في تجاه المجرى الرئيسي، كذلك في نطاق المنابع العليا على منحدرات هضبة الجالة القبلية والبحرية، حيث ساعد الانحدار الشديد للمنحدرات على زيادة تأثير التعرية المائية في تجريف المنحدرات من الرواسب والمفتتات.
- جاءت قيمة (K) (٠٠٢١٠ : ٠٠٢٠٥) في المرتبة الثانية حيث بلغت نحو ٣٢.٩٨٪ من منطقة الدراسة، وتظهر على هيئة نطاق شبه مستدير يمتد من الشمال الشرقي نحو الجنوب الشرقي مغطي بذلك اغلب سطح الهضبة الجيرية، ويتسم بشدة التقطيع بفعل الميسلات المائية.
- غطت القيم اقل من (٠٠١٨٥) مساحة محدودة ١٣٪، تقتصر فقط على نطاق المصب حيث توجد المرودة الفيوضية للوادي، وقد عملت الانشطة البشرية علي زيادة تماسك التربة نتيجة اضافة التربة الطينية من وادي النيل لزيادة خصوبتها بغرض استصلاح الأراضي في نطاق المصب.



خرائط رقم (٨) عامل قابلية التربة للتعرية (K) بحوض وادي سنور

من خلال دراسة عامل قابلية التربة للتعرية (K) على مستوى الاحواض الثانوية اتضح الاتي:

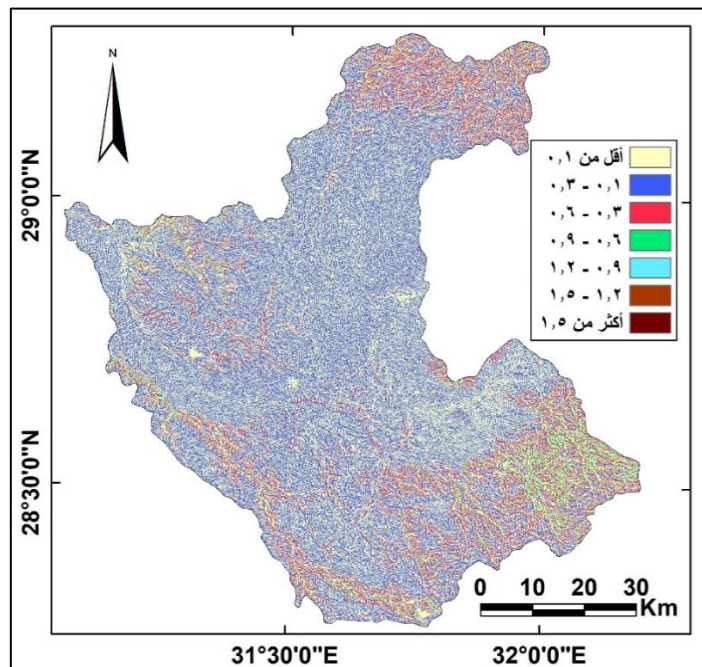
- سجل حوض وادي أبو رمث المرتبة الاولى للقيم القصوى لقابلية التربة للتعرية (٠٠٢١٨)، وجاءت احواض (مليليج، المعزة، المجرى الرئيسي) في المرتبة الثانية (٠٠٢١٧) بينما جاء حوض وادي أرحب في المرتبة الأخيرة (٠٠٢١٥).
- تباين معدل عامل قابلية التربة للتعرية بين (٠٠٠٣٣) لحوض وادي المجرى الرئيسي وبين (٠٠٢١) لحوض وادي أرحب.
- مثل حوض وادي أبو رمث اعلى متوسط لقيم عامل قابلية التربة للتعرية (٠٠٢١١) يليه حوضي (مليليج، أرحب) بنسبة (٠٠٢٠٨)، بينما سجل حوض مواشيل ادنى متوسط لعامل قابلية التربة للتعرية (٠٠٢٠٣)
- عامل طول ودرجة انحدار المنحدر (L) (عامل طبوغرافي)

### Factor of Slope Length and Steepness

يعكس عامل طول المنحدر (L) ودرجة الانحدار (S) بصورة أساسية تأثير طبوغرافية السطح على تآكل وانجراف التربة، حيث تؤدي الزيادة في قيمة (L او S) لزيادة في الجريان السطحي فوق المنحدرات وإنتساج معدلات تدفق عالية للرواسب مما يزيد من الاحتكاك والبرق بفعل الرواسب، تم حساب عامل التآكل (LS) في

حوض وادي سنور باستخدام نموذج الارتفاع الرقمي DEM حيث تم حساب النسب المئوية لدرجات الانحدار ومعدلات التدفق (Flow Accumulation).

من التحليل، لوحظ أن عامل طول ودرجة الانحدار (L.S) تراوحت بين (صفر: < ١.٥) خريطة رقم (٩). ارتفعت قيم العامل الطبوغرافي في المنابع العليا لحوضي (مواثيل، المعزة) حيث تجري فوق النطاق الجبلي لمنحدرات هضبة الجلالة القبلية في الجنوب الشرقي، وكذلك في المنابع العليا لحوضي (أبو رمث، مليح) حيث ينحدرا من منحدرات هضبة الجلالة البحرية في الشمال الشرقي، إلى جانب ارتفاع قيم العامل الطبوغرافي على طول المجرى الرئيسية بحوض وادي سنور، في حين تنخفض قيم بشكل عام فوق باقي سطح الحوض؛ حيث الصخور الجيرية معتدلة الانحدار.



خرائط رقم (٩) عامل طول ودرجة الانحدار (L.S) بحوض وادي سنور

بدراسة قيم العامل الطبوغرافي ملحق رقم (١) على مستوى الأحواض الثانوية اتضح الآتي:

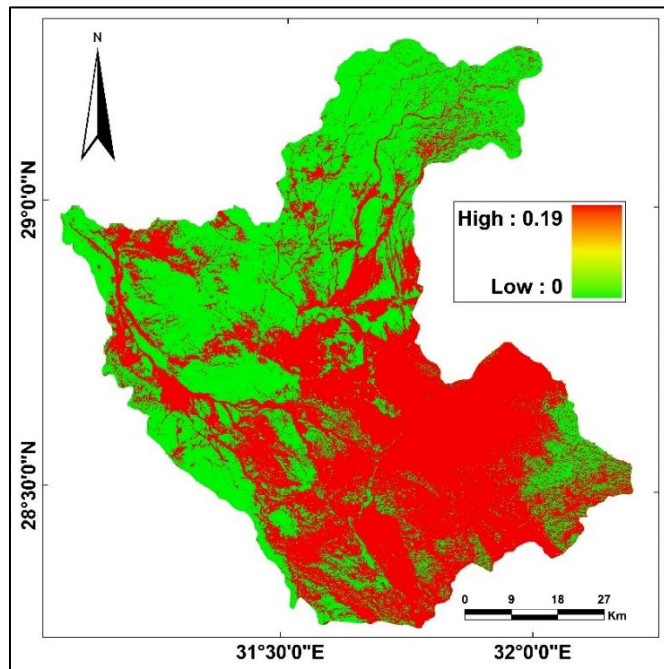
- احتل حوض وادي المعزة المركز الأول من حيث القيم القصوى للعامل الطبوغرافي (٠٠٢٧٧)، يليه حوض مواثيل (١.٥٣) بينما جاء حوضي (أبو رمث، مليح) في المرتبة الأخيرة (١.٠٦٥).

- شكل حوض وادي المعزة اعلى متوسط لقيم العامل الطبوغرافي (٠.١٤٣) يليه حوض أرحب (٠.١١١)، في حين سجل حوض المجري الرئيسي ادنى متوسط لقيم العامل الطبوغرافي (٠.٠٩٥) ولعل ذلك يرجع للانحدار الهين في نطاق القطاع الأدنى لحوض وادي سنور.

#### • عامل الغطاء النباتي (C)

يشكل الغطاء النباتي عامل رئيسي في حماية التربة من التعرية والانجراف، واتسم الغطاء النباتي بالندرة بسبب ظروف الجاف الحالية، حيث اقتصر على بعض النباتات الحولية تنمو في بطون المجاري الرئيسية، بهدف حساب عامل الغطاء النباتي، تم حساب قيم مؤشر الاختلاف النباتي **Normalized Difference** (NDVI) Vegetation Index باستخدام المرئية الفضائية Land sat ٨ بتاريخ ٢٠١٨/١٢/٧، حيث تم تحويل المرئية الفضائية باستخدام برنامج ERDAS Imagen للحصول على قيم NDVI ثم تطبيق المعادلة الرياضية لحساب قيم عامل الغطاء النباتي (C)

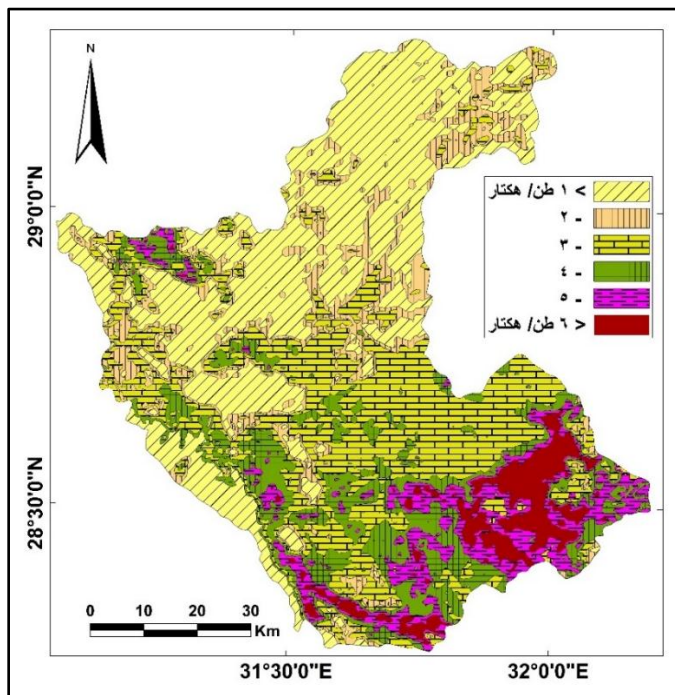
ترواحت قيم (C) بين (٠.٠١٩ : ٠.١٩) حيث تشير القيم الصفرية لسطح الهضبة الجيرية، في حين ترتفع القيم مع المجاري الرئيسية لوادي سنور وفي المنابع العليا في نطاق هضبة الجلالة القبلية؛ مما يشير لدور التعرية المائية في نحت وجرف التربة على طول المجاري المائية.



### خريطة رقم (١٠) قيم عامل الغطاء النباتي (C) لمنطقة الدراسة

بدراسة متوسط قيم عامل الغطاء النباتي على مستوى الاحواض بمنطقة الدراسة اتضح ان الاحواض الجنوبية التي تتبع من منحدرات هضبة الجالة القبلية سجلت اعلى متوسط لقيم؛ حيث بلغت في حوض وادي المعزة (٠٠١٥٣) يليه حوض مواثيل؛ ولعل ذلك يرجع لارتفاع كثافة الصدوع والفاصل ودرجة انحدار السطح، في حين انخفضت متوسط القيم في الاحواض التي تتبع من الشمال الشرقي.

امكن انتاج خريطة لمعدلات التعرية المائية باستخدام نموذج RUSLE وتم تصنيف مستويات التعرية المائية الى ست مستويات جدول رقم (٧) وتم حساب المساحات التي تغطيها كالتالي:



### خريطة رقم (١١) معدلات التعرية المائية للتربة بالاعتماد على نموذج RUSLE

- معدل تعرية طفيف؛ يغطي حوالي ٢٣.١٠ % من المساحة الكلية لمنطقة الدراسة، وتغطي التعرية الطفيفة اغلب الاجزاء الشمالية والشمالية الشرقية للحوض وتظهر كذلك في نطاق المصب الى جانب نطاق تقسيم المياه الجنوبي.
- معدل تعرية قليل جدا؛ تشغل حوالي ١٢.٠٧ % من المنطقة وتظهر على هيئة نطاقات شريطية تتفق مع المجاري الرئيسية للأودية المنحدرة من الشمال الشرقي.

- معدل تعرية قليل: يأتي في المركز الأول من حيث المساحة حوالي ٤٣٪ من المساحة الإجمالية للمنطقة، وتغطي القطاعات الوسطى لواديي (المعزة، مواثيل) كذلك تظهر في المنابع العليا المنحدرة من الحواف الجبلية.
- معدل تعرية متوسط؛ تغطي حوالي ٨٠.١٧٪ من المنطقة وتمتد على طول محور واديي (المعزة، مواثيل) وتظهر حول منحدرات جبل غراب.
- معدل تعرية مرتفع؛ تشغّل حوالي ٣٠.٨٤٪ من منطقة الدراسة وتغطي نطاق المرتفعات الجبلية في هضبة الجلة القبلية، إلى جانب قمة جبل غراب.
- معدل تعرية عالية جداً؛ اقتصر ظهورها على القمم الجبلية بهضبة الجلة القبلية، حيث لم تتعد نسبتها نحو ١٠.٤٥٪ من منطقة الدراسة

#### جدول رقم (٧) معدلات تعرية التربة بالاعتماد على نموذج RUSLE

نتائج معادلة	المجموع	أقل من						مستوى تعرية التربة طن/هكتار/سنة
		٦	٥	٤	٣	٢	١	
	٦٢٠٢.٢١	٩٠.١٩	٥٠٦.٥٦	٩٢٦.٧٥	١٦٣٩.٠٢	٧٤٨.٥١	٢٠٥٢.٩١	٢ كم
	%١٠٠	١.٤٥	٣.٨٤	٨.١٧	٢٦.٤٣	١٢٠.٧	٣٣.١٠	%

رابعاً:  
تطبيق

#### التعرية الريحية للتربة (WEQ)

تمثل التعرية الريحية أهم العناصر الفاعلة للتعرية التربة في المناطق الجافة وشبه الجافة. وبخاصة مع ندرة الغطاء النباتي ويزيد تأثير التعرية الريحية بفعل الأنشطة البشرية بمنطقة الدراسة؛ كالتحجير وشق الطرق، حيث تصبح التربة مفككة غير متماستة تحت التأثير المباشر لفعل الرياح، وفي هذه الحالة يكون فقد في التربة عن طريق التعرية الريحية أكبر بكثير من النواتج المضافة إليها عن طريق العمليات الجيومورفولوجية المسؤولة عن تكوين التربة.

#### أ- عامل المناخ (C)

تمثل العناصر المناخية (الرياح، الأمطار، درجة الحرارة، الرطوبة النسبية، التبخر) وخصائص التربة العوامل المؤثرة في التعرية الريحية للتربة. ويعتمد على المناخ كعامل رئيسي عند تقييم العوامل المؤثرة على التعرية الريحية في المناطق الجافة وشبه الجافة، ويشار للمناخ عموماً بعامل الرياح Wind Factor، حيث تمثل

الرياح الطاقة الحركية المشكلة لنحت ونقل الطبقة السطحية، إلى جانب المساعدة على جفاف التربة من خلال فقد الرطوبة، وتتناسب التعرية الريحية عكسياً مع رطوبة التربة وطردياً مع مكعب سرعة الرياح (Chepil, ١٩٥٠, pp. ٤١٥-٤٣٠)

**جدول رقم (٨) التساقط الفعال لثورنتويت والعامل المناخي بمنطقة الدراسة**

اسم المحطة	٣	٣	٣	٣	٣	٣	٣	٣	٣	٣	٣	٣	٣	العامل المناخي C	معدل سرعة الرياح ثانية / م	معدل التساقط PE	العامل المناخي
السويس	٠,٤٥٣٣	٠,٠١٠٦	٠,٠١٧٧	٠,٠١٨٤	٠,٠٨٥٥	٠,٠٣٤٢	٠,٠٥٤٢	٠,٩٣٩١	٧,٩٣٩١	٢,٣٣	٧٧,٢						
بني سويف	٠,١٠٤٠	٠,٠٦٢١	٠,٠٤٦٣	٠,٠١٨٤	٠,٠٢٨٩	٠,٠٢٤	٠,٠٦٦٢	٥,١٧٠٤	٠,٠٢٤	١,٣٦	٣٦,٦						
العناد	٠,٠٧٠٤	٠,٠٧٠٢	٠,٠١٠٣	٠,٠٠٨٧	٠,٠١٥	٠,٠١١٣	٠,٠٠٢٩	٤,٠٤٩٦	٤,٠٠٢٧	١,٨٣	٤٨٣,١						

بتطبيق معادلة التساقط الفعال والعامل المناخي جدول رقم (٨) بلغ متوسط قيم المنطقة حوالي ١٣٢.٣ مما يشير لوقوع المنطقة ضمن معدلات التعرية الريحية المرتفعة حسب تقسيم درجات التعرية (Chepil, et al, ١٩٦٢, p. ١٦٤)، أمكن تميز أربع نطاقات لدرجات التعرية تتراءى بالاتجاه نحو الجنوب الشرقي خريطة رقم (١٢) كالتالي:

- اقل من ٧٠ (تعرية متوسطة) اقتصر على نطاق المروحة الفيضية للوادي، حيث غطت غطت ١٨.٩٨ كم<sup>٢</sup> بما يعادل ٠٠.٣١٪ من منطقة الدراسة ولعل ذلك يرجع لعمليات استصلاح الأراضي.

- ١٥٠: ١٥١ (تعرية مرتفعة) تغطي الأجزاء الشمالية للحوض حيث تشغّل ١٣٨٠.٨٧ كم<sup>٢</sup> نحو ٢٢.٢٦٪ من المساحة الكلية لمنطقة الدراسة، وتتسم بوجود الصخور الجيرية العارية من الغطاء النباتي.

- ٢٢٠: ٢٢٠ (تعرية مرتفعة نسبياً) تلي النطاق السابق وتغطي حوالي نصف منطقة الدراسة ٣٢٩٧.٩٨ كم<sup>٢</sup> حوالي ٥٣.١٧٪ ويمتد هذا النطاق مع المجاري الرئيسية لوادي سنور؛ حيث تعمل المجاري المائية على تجريف الطبقة السطحية من الرواسب والمعفات مما يزيد من قدرة الرياح على الاكتساح ونحت التربة.

- أكثر من ٢٢٠ (تعرية مرتفعة جداً) تغطي المنابع العليا للأودية المنحدرة من هضبة الجلاة القبلية وتشغل حوالي ١٥٠٤.٣٨ كم<sup>٢</sup> أي ٢٤.٢٦٪ من إجمالي مساحة منطقة الدراسة.

#### ب- مؤشر قابلية التربة للتعرية الريحية (I) Soil Erodibility

##### • الخصائص الطبيعية والكيميائية لعامل التربة

تمثل خصائص التربة عنصر مقاومة للتعرية الريحية؛ حيث تعمل هذه الخصائص على مقاومة تأثير فعل الرياح

باختزالها سرعها وتقليل طاقتها الحركية، وتعتمد التربة في مقاومة فعل الرياح على بعض الخواص (النسيج، خشونة السطح، الطبوغرافية، رطوبة التربة)، يؤثر المكون الحجمي لنسيج التربة على مدى فاعلية عمليات التعرية الريحية؛ حيث يقل التأثير كلما زاد حجم الرواسب والمفتتات عن املم (رمل خشن)، في حين يزداد تأثيرها على نسيج التربة المكون من حبيبات (رمل متوسط وناعم) (١:٠.١٢٥ ملم)، من خلال التحليل الكيميائي والميكانيكي لعينات التربة ملحق رقم (٢) تتبادر الخصائص الحجمية للتربة المكونة لنسيجها بمنطقة الدراسة، كذلك ارتفعت المركبات الكلسية، مما يؤدي لتصلب الطبقة السطحية للتربة، وترتب على ذلك قلة المحتوي من المادة العضوية بالتربة، إلى جانب إعاقة نمو جذور النباتات مما انعكس على ندرة الغطاء النباتي بمنطقة الدراسة، واقتصر على بعض النباتات الحولية في بطون الأودية بمنطقة الدراسة.

يؤدي تكون القشرة الكلسية على زيادة قدرة الجريان السيلي على نحت وانجراف التربة؛ حيث تكون التربة مفككة أسفل هذه القشرة، إذ يقل تركيز الاملاح وتتفصل الصخور الطينية عن باقي مكونات التربة والتي تتسم بالضعف امام التعرية المائية، وفيما يلي توضيح لهذه العناصر.

- **قوام التربة (النسيج):** تم توقع نتائج التحليل الميكانيكي للتربة على مثلث النسيج **Triangle Texture Diagram** بهدف تحديد نسيج التربة الناتج عن تداخل حبيبات (الرمل، الغرين، الطين) انتظم وجود أربع أنواع لنسيج التربة هي كالتالي (طميّة طينية رملية، طينية رملية، طميّة، طينية) حيث بلغت نسبها على الترتيب (٤٦.٦٦٪، ٢٠٪، ١٣.٣٤٪) من العدد الكلي لعينات.

- **المادة العضوية:** تعمل كمادة لاحمة لحبوب التربة تزيد تمسكها ومقاومتها لعوامل التعرية، انخفضت نسبة المادة العضوية في جميع العينات دون ٢٪ وتراوحت بين (٠.٣٩٪، ١.٩٨٪) وانخفضت نسبة المادة العضوية دون ١٪ في ثلثي العينات؛ ولعل ذلك يرجع لندرة الغطاء النباتي بالمنطقة، كذلك تتخض المادة العضوية على منحدرات المنطقة وبخاصة المرتفعات الجبلية بسبب انحدار السطح وقلة سمك التربة وتعرضها للغسل والاكتساح بفعل التعرية المائية.

يقل تأثير التعرية المطرية الناتج عن اصطدام قطرات المطر بسطح التربة كلما ارتفعت نسبة المادة العضوية عن ٠.١٪ ، وتوجد علاقة عكسية بين قابلية التربة للتعرية ونسبة المادة العضوية؛ بحيث تتعرض التربة للتعرية

الشديدة عندما تنخفض المادة العضوية دون ١٠٪، في حين تؤدي زيادة المادة العضوية لزيادة تماسك واستقرار

التربة وتحسين الخواص الطبيعية والكيميائية (بلغيد، ٢٠٠٧)

#### - قلوية التربة:

ترتبط قلوية التربة بنسبة تراكم حبيبات الكالسيوم داخل نسيج التربة، بدراسة نتائج التحليل الكيميائي لعينات التربة ملحق رقم (٢) تراوحت نسبة كربونات الكالسيوم بين (٣٩.٨٧٪: ٨٤.٩٥٪) حيث سجلت التربة ذات النسيج (طمي طيني رملي) أعلى نسبة كربونات كالسيوم، في حين سجلت التربة ذات النسيج الطيني أقل نسبة. بسبب طبيعية التكوينات الجيولوجية بمنطقة الدراسة تغطي القشرة الجيرية مساحات كبيرة بحوض وادي سنور؛ مما شكل عائق أمام نمو غطاء نباتي واقتصر على بعض النباتات الحولية ، من ناحية أخرى ادي ارتفاع نسبة الكالسيوم في الطبقة السطحية لزيادة مقاومتها للانجراف بفعل الرياح؛ حيث تشكل طبقة متصلبة تحمي التربة اسفل منها عن طريق انتقال حبيبات الكالسيوم داخل الطبقة السطحية بواسطة الخاصية الشعرية عقب تساقط الامطار مما يزيد من مقاومة التعرية الريحية، وتكشف هذه الطبقة على طول منحدرات جوانب الأودية حيث عملت المسيلات المائية على تقطيعها.

#### - الاس الهيدروجيني:

يهم الاس الهيدروجيني بتراكز ايونات الهيدروجين في محلول التربة ويشار له بالرمز  $\text{Ph}^{(٧)}$ ، ويتراوح بين (٨.٣٥: ٨.٥٥) مما يشير لقلوية التربة بمنطقة الدراسة وبالتالي تفكك حبيبات التربة وزيادة قابليتها للتعرية.

#### • نتائج مؤشر قابلية التربة للتعرية الريحية (I)

توضح نتائج مؤشر قابلية التربة للتعرية الريحية لمدى تدهور التركيب الميكانيكي للترابة الناتج عن انخفاض المادة اللاحمة (الطين) إلى جانب تدني نسب المادة العضوية، وتم الاعتماد على معادلة (Shiyatyi، ١٩٦٥) لتقدير قابلية التربة للتعرية الريحية ملحق رقم (٢) كما يلي:

<sup>٧</sup>) مقياس Ph يتدرج من ١: ١٤ بحيث يمثل الرقم ٧ التربة المتعادلة او الحيادية، والقيم اقل من ٧ تشير التربة الحامضية، والقيم أكبر من ٧ تشير للتربة القلوية.

بلغ متوسط قيم قابلية التربة (١) نحو (٤٢.٥٥ طن/ هكتار/ سنة) وبذلك تقع المنطقة ضمن فئة التعرية المتوسطة للتربة حسب تصنيف FAO ١٩٧٩<sup>(٨)</sup>، ويعزى اختلاف قيم (١) على مستوى العينات لاختلاف الخواص الطبيعية للتربة (النسيج) حيث تتفاوت قيم قابلية التربة للتعرية (١) في العينة رقم (١٣) حوالي (٢٩.٨٩ طن/ هكتار / سنة) بسبب ارتفاع نسب الرمل الخشن (٤٧٪) من حجم العينة، في حين تسجل أعلى قيم قابلية التربة للتعرية (١) في العينة رقم (٢) لأنخفاض نسبة الرمل الخشن (٥٧٪) من حجم العينة، وبدراسة قابلية التربة للتعرية حسب نسيجها؛ جاءت التربة ذات النسيج الطيني في المرتبة الأولى بمتوسط عام (٥٢.٩٥ طن/ هكتار / سنة)، يليها التربة ذات النسيج الطمي بمتوسط (٥٠.٧٤ طن/ هكتار / سنة)، وجاءت في المرتبة الثالثة التربة الطينية الرملية بمتوسط (٣٩.٨٥ طن/ هكتار / سنة) بينما جاءت التربة ذات النسيج الطمي الطيني الرملي في المرتبة الأخيرة بمتوسط (٣٧.٢٥ طن/ هكتار / سنة).

بتطبيق المعادلة المستخدمة لحساب قابلية التربة للتعرية الريحية (١) تم رسم خريطة لمعدلات تعرية التربة، وتم تقسيم منطقة الدراسة لخمس نطاقات خريطة رقم (١٢) كالتالي:

- معدلات تعرية أقل من ٢٥ طن/ هكتار / سنة: عُطت حوالي ٦١.٢٦ كم٢ بما يعادل ٩٩٪ من المساحة الكلية للحوض، وظهرت فقط في نطاق المروحة الفيضية، ويرجع انخفاض معدلات التعرية لزيادة تماسك التربة كنتيجة لعمليات استصلاح الأراضي في المروحة الفيضية.
- معدلات تتراوح بين (٢٥: ٣٥ طن/ هكتار / سنة): تمت فوق ١١٢٧.٦٧ كم٢ حوالي ١٨.١٨٪ من إجمالي مساحة الحوض، وتظهر على شكل نطاق طولي يمتد على طول خط تقسيم المياه للروافد الشمالية الشرقية لوادي سنور، إلى جانب ثالث نطاقات منعزلة على خطوط تقسيم المياه مع روافد وادي سنور وروافد الأودية المنحدرة من هضبة الجاللة القبلية.
- معدلات تتراوح بين (٣٥: ٤٥ طن/ هكتار / سنة): تشغّل هذه المعدلات أكثر من نصف منطقة الدراسة وهو نحو ٣٢٠.٦٥ كم٢ بنسبة ٥١.٧٠٪ وتظهر هذه المعدلات في الأماكن التي عملت المجاري على تقطيعها، حيث

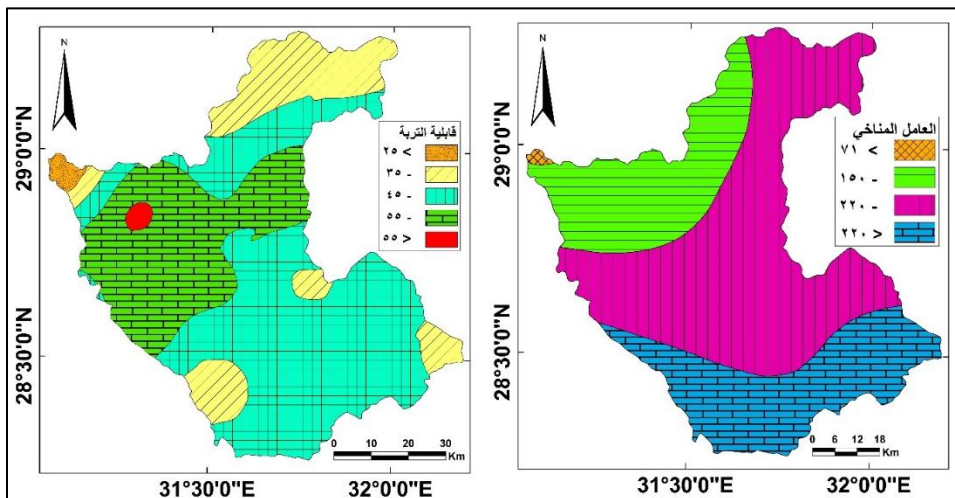
(٨)

كمية التعرية طن/ هكتار/ سنة	ضعيّفة	متوسطة	شديدة	شديدة جداً
أقل من ١٠.٧١	١٠.٧١	٥٣.٠٨	٢١٢.٣٣: ٥٣.٠٨	٢١٢.٣٣
أقل من ٠.٦	٠.٦	٣.٣: ٣.٣	١٣.٣: ٣.٣	٢١٢.٣

معدل تخفيض السطح ملم

انحدار السطح الواضح والصخور الجيرية مما يعكس الدور الواضح للتعرية الريحية في اكتساح ونحت التربة ورواسب الجريان السيلي على طول مجري الأودية.

- معدلات تتراوح بين (٤٥:٥٥ طن / هكتار / سنة)؛ تغطي كم ١٧٦٤.٤٣ حوالى ٢٨.٤٥٪ تركزت هذه المعدلات كنطاق يمتد من الشمال الشرقي نحو الجنوب الغرب في نطاق القاء المجرى الرئيسي بمجرى وادي سنور، مما يعكس اكتساح سمك من الطبقة السطحية يتراوح بين (٣٠.٣:٠٠.٦) ملم).
- معدلات تعرية أكثر من ٥٥ طن / هكتار / سنة؛ ظهرت على هيئة نطاق شبة مستدير يغطي كم ٤٢.٣١ حوالى ٠٠.٦٨٪ من جملة مساحة الحوض وتبدو كبقعة تغطي قمة جبل غراب، مما يشير لمعدلات تخفيف السطح تتراوح بين (٣٠.٣:١٣٠.٣) ملم).



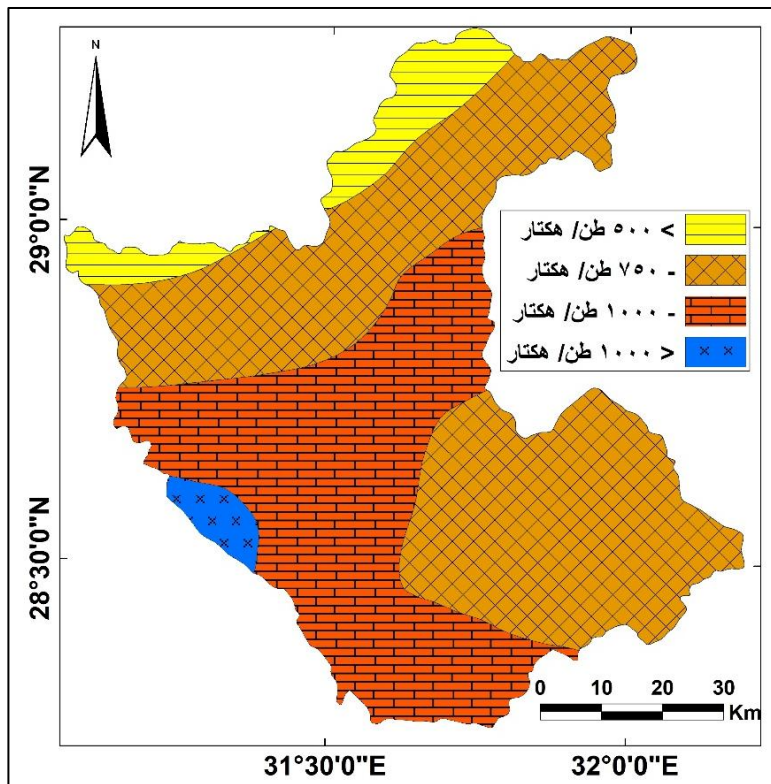
خرائط رقم (١٢) قيم معدلات العامل المناخي وقابلية التربة للتعرية الريحية بحوض وادي سنور

### الخطر المحتمل للتعرية الريحية (WER)

تمثل التعرية الريحية المحتملة أقصى معدلات تعرية بمنطقة الدراسة؛ كنتيجة للعوامل الطبيعية، بدون تأثير الغطاء النباتي او استخدامات الأرضي، في ظل الظروف المناخية السائدة. تم تقدير الخطير المحتمل للتعرية الريحية باستخدام ناتج ضرب خريطة العامل المناخي للتربة (C) مع خريطة قابلية التربة للتعرية الريحية (I) باستخدام Raster calculator ضمن برنامج Arc GIS، بهدف حساب معدلات فقد التربة السنوية بفعل التعرية الريحية بحوض وادي سنور:

**توضيح الخريطة رقم (١٣) نطاقات توزيع التعرية الريحية المحتملة خلال العام حيث تم تقسيم منطقة الدراسة لأربعة نطاقات للتعرية الريحية، وتحتاج هذه الأقاليم من حيث المساحة وشدة التعرية كالتالي:**

- **نطاق قليل الخطورة:** حيث تقدر كميات الفاقد من التربة (أقل من ٥٠٠ طن / هكتار / السنة) ويغطي هذا النطاق نحو ٤٧٠.٧٧ كم بما يعادل ٧٦.٥٩٪ وتضم أجزاء الشمالية والشمالية الشرقية من حوض وادي سنور متفق مع امتداد خط تقسيم المياه لمنطقة الدراسة.
- **نطاق متوسط الخطورة:** تتراوح كميات الفاقد من التربة بين (٥٠٠: ٧٥٠ طن / هكتار / السنة)، ويشغل هذا النطاق أكثر من نصف منطقة الدراسة ٣٢٦٦.٨٠ كم ٢ بما يعادل ٥٢.٦٧٪ حيث يمتد من الشمال الشرقي نحو الجنوب الغربي إلى الجنوب من النطاق السابق على هيئة نطاق طولي، كذلك يغطي المنابع العليا لروافد وادي سنور المنحدرة من هضبة الجلالة القبلية.
- **نطاق خطير:** تتراوح كميات الفاقد من التربة بين (٧٥٠: ١٠٠٠ طن / هكتار / السنة) ويأتي في المرتبة الثانية من حيث المساحة حيث يغطي ٢٣٤٣.٨٥ كم ٣٧.٧٩٪ من المساحة الإجمالية لحوض وادي سنور، ويمتد هذا النطاق في اتجاهين الأول من الشمال الشرقي / الجنوب الغرب والثاني من الجنوب الشرقي / الشمال الغربي متفق مع خط تقسيم المياه بين روافد وادي سنور وروافد وادي الطرف خارج منطقة الدراسة، ويقطع هذا النطاق المجرى الرئيسية لوادي سنور.
- **نطاق شديد الخطورة:** تقدر كميات الفاقد من التربة (أكثر من ١٠٠٠ طن / هكتار / السنة) ويأتي هذا النطاق في المرتبة الأخيرة من حيث المساحة ١٢٠.٧٩ كم ١٠.٩٥٪ من جملة المساحة لحوض سنور، ويظهر كبقة على طول خط تقسيم المياه مع وادي الطرف، ويتحقق هذا النطاق مع توقينات الفلونجلوميرات بمنطقة الدراسة، حيث تنشط عملية التذرية الريحية بسبب وجود الرواسب الرملية.
- حسب التوزيع المكاني لنطاقات الخطورة المحتملة للتعرية الريحية في المنطقة، يمكن ارجاع اختلافات الخطورة لتباعين قيم قابلية التربة للتعرية الريحية، حيث ينخفض هذا الخطر مع ارتفاع نسب الرمال الخشنة (حببيات التربة الأكبر من ١ ملم).



خريطة رقم (١٣) نطاقات الخطر المحتمل للتعرية الريحية بحوض وادي سنور

### النتائج والتوصيات

- أجريت هذه الدراسة لمعالجة وتحديد مشكلة تعرية التربة في حوض وادي سنور بأكثر من نموذج (RUSLE-WEQ) ويعد نظم المعلومات الجغرافية (GIS) والاستشعار عن بعد من أكثر الأدوات فعالية لتحليل المعلومات واستخلاص خرائط لتوزيع البيانات المكانية داخل أجزاء الحوض. يعد استخدام النماذج الرياضية للتعرية المدمجة في نظم المعلومات الجغرافية والاستشعار عن بعد أداة أكثر فعالية من الطرق التقليدية لتقدير معدلات فقد التربة في نطاق الحوض.

- من خلال دراسة تعرية التربة لحوض وادي سنور باستخدام نموذج للتعرية المائية واخر للتعرية الريحية اتضح ان التعرية الريحية من اهم العمليات الجيومورفولوجية السائدة بالحوض وأعظم تأثير في نحت وجرف التربة؛ حيث بلغ متوسط قيم التعرية الريحية (١) نحو (٤٢.٥٥ طن / هكتار/سنة ) في حين بلغ متوسط التعرية المائية للترابة (١.٩١ طن / هكتار/سنة)، بلغت متوسط قدرة التعرية المطرية(R) حسب

مؤشر روز (٦.٦٣) بينما بلغ متوسط قدرة التعرية الريحية حسب معادلة Chepil حوالي ١٣٢.٣ مما يشير لوقوع المنطقة ضمن معدلات التعرية الريحية المرتفعة.

- تشكل العناصر المناخية وخصائص التربة العاملين الرئيسيين المؤثرة في عمليات تعرية التربة ؛ لذلك تعانى منطقة الدراسة من معدلات تعرية ريحية مرتفعة، مما يستدعي تشجير المناطق التي تتعرض للتعرية العالية والشديدة جداً وبخاصة في نطاق استصلاح الأراضي الزراعية.
- إمكانية استخدام المركبات الفضائية في رصد تغيرات الغطاء النباتي من خلال حساب قيم المؤشر النباتي NDVI، وتراروحت قيم عامل الغطاء النباتي بين (٠٠١٩ :٠٠) حيث ارتفعت القيم على طول المجاري المائية وبخاصة المنحدرة من هضبة الجلة القبلية، بينما انخفضت في الأجزاء الشرقية والشمالية؛ بسبب غنى الطبقة السطحية بكرbones الكالسيوم والتي عملت على تماسك التربة وحمايتها من التعرية والتآكل.
- اظهر عامل قابلية التربة للتعرية المائية (K) ان الأجزاء الوسطى من الحوض والمنابع العليا لوادي سنور في الشمال الشرقي والجنوب الشرقي ذات قابلية عالية لنحت وانجراف التربة، بسبب انخفاض نسب الطين وارتفاع نسب الغرين والرمل الخشن، في حين تنخفض بالاتجاه نحو المصب والأطراف بسبب زيادة نسب الطين.
- انشاء قاعدة بيانات جغرافية لحوض وادي سنور وتحديث البيانات وانشاء خرائط تفصيلية خاصة بمعدلات تعرية التربة واستخدامها عند التخطيط والتوسعات العمرانية والصناعية بالمنطقة.
- يجب مراعاة طبيعة العمليات الجيومورفولوجية السائدة والاحاطة المرتبطة بها وبخاصة مع زيادة استصلاح الأراضي في القطاع الادني لوادي سنور مثل انجراف التربة الناتج عن الجريان السيلي او بسبب اكتساح ونحت الرياح
- نظراً لطبيعة المنطقة الصحراوية لابد من الاعتماد على كميات الامطار الفجائية في تقدير معدلات التعرية المائية بدلاً من التساقط الفعلي؛ حيث بلغ مجموع كميات تصريف المياه المتوقعة لحوض سنور ١٨٦.٧٩ مليون م<sup>٣</sup>، مما يعد مؤشر واضح لقدرة الجريان السيلي على نحت وجرف التربة واكتساح الرواسب والمفتتات.

## ملحق رقم (١) التحليل الاحصائي للمتغيرات نموذج المعادلة العالمية لتعريمة التربة RUSLE

الاحواض الثانوية						تحليل الاحصائي	المتغيرات
مليلنج	أبو رمث	أرحب	المجري الرئيسي	مواثيل	المعزة		
٦.٩١	٨.٢٨	٩.٨٢	١٠.٨٢	٨.٩٩	٧.٩٢	أقصى قيمة	عامل التعريمة المطرية (R) (جول / هكتار)
٣.٠٣	٦.١٧	٣.٦٧	٤.٣١	٣.٢٠	٣.٣٥	المدي	
٥.٢٧	٤.٥٣	٧.٦٨	٨.٥٩	٧.٣٩	٦.٣٠	المتوسط	
٠.٦٢	١.١٥	٠.٨٧	١.٠٧	٠.٦٣	٠.٨١	انحراف المعياري	
٠.٢١٧	٠.٢١٨	٠.٢١٥	٠.٢١٧	٠.٢١٦	٠.٢١٧	أقصى قيمة	عامل قابلية التربة للتعريمة (K)
٠.٠٢٢	٠.٠٢٢	٠.٠٢١	٠.٠٣٣	٠.٠٣٠	٠.٠٢٣	المدي	
٠.٢٠٨	٠.٢١١	٠.٢٠٨	٠.٢٠٤	٠.٢٠٣	٠.٢٠٧	المتوسط	
٠.٠٠٤	٠.٠٠٢	٠.٠٠٥	٠.٠٠٩	٠.٠٠٧	٠.٠٠٥	انحراف المعياري	
١.٠٧	١.٠٧	١.٢٩	١.٤٥	١.٥٣	٢.٧٧	أقصى قيمة	عامل طول ودرجة انحدار المنحدر (L. S)
١.٠٧	١.٠٧	١.٢٩	١.٤٥	١.٥٣	٢.٧٧	المدي	
٠.١٠٢	٠.٠٩٧	٠.١١١	٠.٩٥	٠.١٠٨	٠.١٤٣	المتوسط	
٠.١٢٨	٠.١٢٥	٠.١٥٩	٠.١٢٤	٠.١٤٣	٠.٢٢١	انحراف المعياري	
٠.١٩	٠.١٩	٠.١٩	٠.١٩	٠.١٩	٠.١٩	أقصى قيمة	عامل الغطاء النباتي (C)
٠.١٩	٠.١٩	٠.١٩	٠.١٩	٠.١٩	٠.١٩	المدي	
٠.٠٢٦	٠.٠٨٣	٠.٥٧	٠.٠٥٣	٠.١١٥	٠.١٥٣	المتوسط	
٠.٠٦٥	٠.٠٩٤	٠.٠٨٧	٠.٠٨٥	٠.٠٩٢	٠.٠٧٤	انحراف المعياري	
٣.٨٨	٤.٢٨	٦.٩٢	٦.٨٦	٧.٦٠	١١.٥٢	أقصى قيمة	المعدلات السنوية للتعريمة المائية للتربة طن/ هكتار/ سنة
٣.٨٨	٤.٢٨	٦.٩٢	٦.٨٦	٧.٦٠	١١.٥٢	المدي	
٠.٢٦	٠.٦٨	١.٠٩	٠.٨٣	١.٨٤	٢.٦٥	المتوسط	
٠.٤٢	٠.٦١	١.٣٨	١.٠٤	١.٣٢	١.٦٣	انحراف المعياري	

## محلق رقم (٤) المخصاصل الميكانيكية والكيميائية لنترية حوض وادي سنور

M	قام التربة	المخصاصل الميكانيكية للعينات									
		الرمل٪					الطين٪				
		K	CaC O3	OM %	PH	الخصاصل الكيميائية للعينات	جافا	جاف	جاف	جاف	جاف
١	جاف	طن / م³	طن / م³	طن / م³	طن / م³	ناعم	ناعم	ناعم	ناعم	ناعم	جافا
٢	طيني	٥٧٨٥,٣٢	٥٧,٨٦	٥,٧٩	٥,٧٩	٠,١٦	١٦٥	١٩,٦٦	٤١٥	٥٤٦	٣٦٣
٣	طيني	٥٨٠٠,٩٩	٥٨,٠١	٥,٨٠	٥,٨٠	٠,٢٣	٧٤,٦٥	١٧١	٨,٣٥	٨,٣٥	٣٦٤
٤	طيني	٨٨٠٥,١٨	٨٨,٠٥	٤,٨١	٤,٨١	٠,١٦	١٩,٤	١١٤	٨,٤٦	٣,٥٥	١٣,٩٥
٥	طيني	٩٥٥٦,٧١	٩٥٦,٥٦	٤,٩٦	٤,٩٦	٠,٢٣	٧١,٩٤	١١٤	٨,٤٦	٣,٥٩	١١٥
٦	طيني طيني رطب	٣١٠١,٩٢	٣١,٩٢	٣,١	٣,١	٠,١٩	٨٠,٣١	٨,٠٥	١٦,٦	١٩,٨٥	١٦,٦
٧	طيني طيني رطب	٣٠٠٢,٠٨	٣٠٠,٢	٣,٠	٣,٠	٠,٢٣	٧٨,٧٨	١٩,٩	٧,٨	٤,٩٣	٢١,٦٥
٨	طيني طيني رطب	٣٢٥٦,٦٩	٣٢٥,٦٩	٣,٢٦	٣,٢٦	٠,٢٣	٨٦,٩٥	٠,٥٣	٨,٣٦	٣٣,٢١	٠,٩٥
٩	طيني طيني رطب	٣٠٤٤,٤٠	٣٠٤٤,٤٠	٥,٤١	٥,٤١	٠,٢١	٨٤,٩	٠,٤٨	٨	٥,٤٥	١٦,٥
١٠	طيني طيني رطب	٣٣١٦,٥٩	٣٣١٦,٥٩	٣,٣١	٣,٣١	٠,٢١	٨٦,٩٨	٠,٣٩	٨,٣	١٨,٩٥	٢,١
١١	طيني طيني رطب	٣٠٠٧,٣٩	٣٠٠,٧	٣,٠١	٣,٠١	٠,٢٢	٩٦,٨٧	٠,٥٤	٧,٧	١٤,٥	١١,٦٨
١٢	طيني طيني رطب	٣٨٥٩,٣	٣٨٥٩	٣,٨٦	٣,٨٦	٠,١٩	٥٤,٨٥	١٤٦	٦,٧٥	٤,٦٩	٥,٣١
١٣	طيني طيني رطب	٩٩٨٨,٨٤	٩٩,٨٩	٢,٩٩	٢,٩٩	٠,٢٢	٧٦,٩٤	٠,٥٥	٨,٣٥	٣,٢١	٢٤,٤٥
١٤	طيني طيني رطب	٥١٠٧,٤٧	٥١,٠٧	٠,١١	٠,١١	٠,١٩	٧٣,٨٧	٠,٤٨	٨,١٨	١٦,٣٧	١٦,٣٧
١٥	طيني	٦٧٢,٩٦	٦٧,٢١	٤,٧٢	٤,٧٢	٠,٢٣	٩٩,٢١	٠,٨٩	٨,١٩	١١,٤٩	٩,٩٩

تم اجراء تحضيل العينات بعمل التربة وقسم الأرضى بكلية الزراعة جامعة القلوب

## المراجع

١. أبو راضي، فتحي عبد العزيز (١٩٨٨): نصيبي الأقاليم الجافة وشبه الجافة من الدراسات الجيومورفولوجية التطبيقية، مجلة كلية الآداب، العدد ٤٩.
٢. أبو راضي، فتحي عبد العزيز (١٩٩١): التوزيعات المكانية في الجغرافيا، دار المعرفة الجامعية، الإسكندرية.
٣. السيد، خيرت عبد الله (١٩٩٢): الخصائص الليثولوجية والبنيوية وعلاقتها بتشكيل سطح الأرض في وادي فيران، مشروع تطوير خطة الاستعداد لمجابهة ومنع وإدارة الكوارث في مصر، أكاديمية البحث العلمي والتكنولوجيا، القاهرة.
٤. الشيخ، محمد إسماعيل (١٩٨٧): حول مشكلة ألحاح وانجراف التربة في جبال سورية الساحلية، محافظة طرطوس، الجمعية الجغرافية الكويتية، العدد ٩٢.
٥. بلعيد، الياس (٢٠٠٧): مظاهر تدهور الأراضي وتصحرها بحوض الزاغر الغربي بالسهوب الجزائري باستخدام المرئيات الفضائية ونظم المعلومات الجغرافية، رسالة دكتوراه غير منشورة، كلية الآداب جامعة الإسكندرية.
٦. جودة، حسنين جودة (١٩٩٦): الأراضي الجافة وشبه الجافة، دار المعرفة الجامعية، الإسكندرية.
٧. جودة، حسنين جودة، وآخرون (١٩٩١): وسائل التحليل الجيومورفولوجي، الطبعة الأولى، القاهرة.
٨. راضي، محمود دياب (١٩٩٢): العلاقة بين التساقط والجريان السطحي للمياه في وادي سمائل بسلطنة عمان، سلسلة علمية تصدر عن وحدة البحث والترجمة قسم الجغرافيا بجامعة الكويت، الجمعية الجغرافية الكويتية، الكويت.
٩. سلامه، حسن رمضان (١٩٨٣): مظاهر الضعف الصخري وآثارها الجيومورفولوجية، نشرة يصدرها قسم الجغرافيا بجامعة الكويت، الجمعية الجغرافية الكويتية، العدد ٥٣.
١٠. شاور، آمال إسماعيل، عبد الحميد، عاطف معتمد (٢٠٠١): عوامل التصحر في السهل الساحلي الشمالي الغربي لمصر، مجلة الجغرافي العربي، العدد ٧ بغداد.
١١. طاحون، صلاح أحمد (٢٠٠٩): استعمالات الأراضي والمياه في مصر من منظور التغيرات المناخية والتصحر، مؤتمر التغيرات المناخية وآثارها على مصر، ٣-٢ نوفمبر، القاهرة.
١٢. عبد الله، عزة احمد (٢٠٠٥): تطبيقات الاستشعار من بعد في إدارة الازمات والكوارث، مجلة كلية التدريب والتنمية، العدد ١١.
١٣. عقل، ممدوح تهامي (٢٠٠٣): تصحر التربة في منخفض سيوه من منظور جيومورفولوجي، مجلة بحوث كلية الآداب، جامعة المنوفية، العدد ٥٢.
١٤. محمود، سمير سامي (٢٠٠٠): المخاطر البيئية في مصر من منظور جيومورفولوجي، مجلة كلية الآداب، جامعة القاهرة، مجلد (٦٠)، عدد (٤) ص ص ٤٤١ : ٥٢٩.

## References

١. **Abdel Shafy, E.; Abdallah, A.M. and Ismail, A.S., (١٩٨٤):** Contribution to the Eocene stratigraphy in Sohag-Beni Suef area, Nile Valley, Egypt. Proc, ٢<sup>nd</sup> Geol. Congress on the Middle East. Arab Geol. Ass. Baghdad. : pp. ٥-٢٢.
٢. **Behbahani, A., M., (٢٠١٥):** Hazard and risk assessment of wind erosion and dust emissions in Denmark - a simulation and modelling approach, ph. D, Faculty of Sci., Univ., Basel, Switzerland. <https://edoc.unibas.ch/٣٨٥٧٥/>
٣. **Chepil, W.S., (١٩٦٠):** Properties of Soil Which Influence Wind Erosion, Dry Aggregate Structure as an Index of Erodibility, Soil Science, ٦٩, p. ٤٠٣-٤١٥.
٤. **Chepil, W.S, sibboway, F.H, and Armburst, D.V., (١٩٦٢):** Climatic factor for Estimating wind erodibility of farm Fields, J. Soil and water conservation, vol. ١٧, PP. ١٦٢-١٦٥.
٥. **Fournier, F., (١٩٦٠):** Climate Erosion La relation entre le erosion du sol Par l'eau et les perceptions Atmosphere, Ques, Paris, p. ٢٠١.
٦. **Fabbri, K. (١٩٩١):** The Use of Geomorphic Information Systems and Remote Sensing Analysis for the assessment of soil erosion hazards. A case study in Central Bolivia. ITC. Enschede, Netherlands, <http://www.itc.nl>
٧. **Ferreira, V.A., Weesies, G.A., Yoder, D.C. , Foster, G.R., and Renard, K.G., (١٩٩٥):** The site and condition specific nature of sensitivity analysis. J. Soil and Water Conserve. ٥٠(٥), pp. ٤٩٣-٤٩٧
٨. **FAO, (١٩٨٠):** A provisional methodology for soil degradation assessment, Rome.
٩. **FAO, (١٩٨٨):** Methodology of Soil Degradation. Rome.
١٠. **FAO, (٢٠١٩):** Soil erosion: the greatest challenge to sustainable soil management. Rome.
١١. **Ganasri, B.P., and Ramesh, H., (٢٠١١):** Assessment of soil erosion by RUSLE model using remote sensing and GIS - A case study of Nethravathi Basin, Geoscience Frontiers ٧ pp. ٩٥٣-٩٦١
١٢. **Hammad, M., A.,(١٩٧٥):** Soil Association map of Egypt, Geol. Survey, paper ٥٦
١٣. **Hayes, W.A., (١٩٧٢):** Designing Wind Erosion Control System in the Midwest Region RTSC, Technical note, Agronomy LI-١, Soil Conservation Service, U.S. Department of Agriculture, Washington. D.C.
١٤. **Karaburun, A., (٢٠١٠):** Estimation of C factor for soil erosion modeling using NDVI in Buyukcekmece watershed. Ozean Journal of Applied Sciences ٣ (١), PP. ٧٧-٨٥.
١٥. **Moore, I.D. and Burch, G.J. (١٩٨٦):** Physical Basis of the Length Slope Factor in the Universal Soil Loss Equation. Soil Science Society of America, ٥٠, PP. ١٢٩٤-١٢٩٨. <http://dx.doi.org/10.2136/sssaj1986.36109900...0...0...42x>
١٦. **Said, R., (١٩٦٢):** the geology of Egypt, Elsevier, Amsterdam, London, New York, p. ٣٧٧.
١٧. **Sellers, P., and Canopy, J. V., (١٩٨٩):** Spectral Reflectance and Biophysical Processes. In Theory and Applications of Optical Remote Sensing. Edited by G. Asrar, Wiley, New York, ١٩٨٩, ٢٧٩-٣٣٥.
١٨. **Shiyaty, E.I., (١٩٦٠):** Erosiveness of Southern Carbonate Chernozems in Relation to the Ruggedness of the Soil Surface, Vestnik, Sef-Khoz, Nauki ١٢, Alma-Ata (Kazakhstan).
١٩. **Strahler, A. N.,(١٩٦٠):** Physical Geography, Second Edition, John Wiley and Sons, New York, p. ٤٣٤.
٢٠. **Omara, S., Mansour, H., Youssef, M., and Khailfa, H., (١٩٧٧):** Stratigraphy, Paleo environment and structural features of the area east of Beni Mazar, Upper Egypt, Bull. Fac. Assiut University, No. ٦(٣), p.p. ١٧١-١٩٧.
٢١. **Wischmeier, W.H. and Smith, D.D. (١٩٧٨):** Predicting Rainfall Erosion Losses. A Guide to Conservation Planning. The USDA Agricultural Handbook No. ٥٣٧, Maryland.

٢٢. Woodruff, N. P., Siddoway F. H., (١٩٦٥): A wind erosion equation. Science Society of America Proceedings ٢٩, PP. ٦٠٢-٦٠٨.
٢٣. Young, A., (١٩٧٢): Slopes, Oliver and Boyd, Edinburgh.
٤. Youssef, M., Bahay, I., and El Sayed, A., (١٩٧٨): Geology of the area east of Beni Suef, Eastern desert, Egypt, Annals of Geological Survey of Egypt, vol. VIII, pp. ١٢٩- ١٦٢.